

# Radioökologie und Strahlenschutz

Vorlesung FHH: WS 2019/20

Ulrich J. Schrewe

## Themen:

Anwendung kernphysikalischer Messverfahren in  
der industriellen Messtechnik

Eigenschaften ionisierender Strahlung

Strahlungswirkung - Strahlenschutz

1. Einleitung
2. Grundlagen Atomphysik
3. Basiswissen Kernphysik
4. Röntgenstrahlung
5. Strahlungswechselwirkung
6. Strahlungsnachweis
7. Anwendungen
8. Grundlagen Strahlenschutz

# Zugang zu den Unterlagen

Microsoft Power Point Dateien mit Vorlesungsunterlagen  
finden Sie als Web-Disk:

<https://webdisk.hs-hannover.de>

Oder über die Homepage:

<http://schrewe.wp.hs-hannover.de>

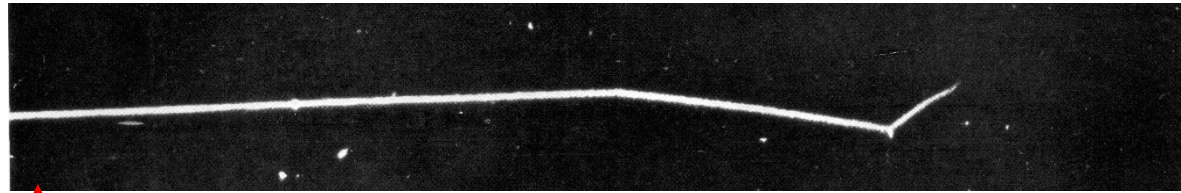
Fragen (jederzeit) auch per E-Mail:

[ulrich.schrewe@hs-hannover.de](mailto:ulrich.schrewe@hs-hannover.de)

# Geladene Teilchenstrahlung

- $\alpha$ - Strahlung: zweifach positiv geladene  $\text{He}^{++}$ -Ionen
- $\beta^-$  oder  $\beta^+$ -Strahlung: geladene Leptonen (leichte Teilchen)
- Ionenstrahlung: positiv geladene Ionen  $\text{H}^+$ , oder andere schwere Ionen

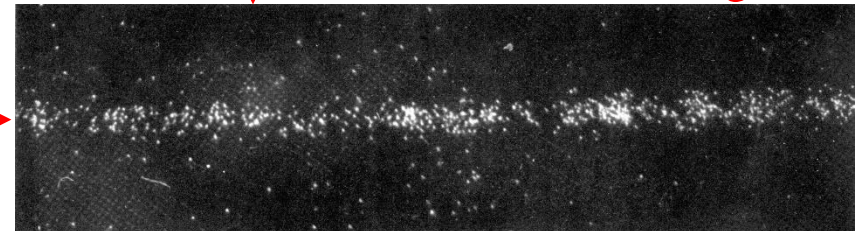
Elektrisch geladenen Teilchen wirken im Vorbeiflug durch eine elektrostatische Fernwirkung auf die Elektronen der Atome entlang ihrer Bahnspur. Die Atome können ionisiert werden.



↑ Bahn eines  $\alpha$ -Teilchens

↓ Bahn eines  $\alpha$ -Teilchens mit hoher Auflösung

Man erkennt die einzelnen Ionisationen entlang der Bahn. →



Quelle: Atlas typischer Nebelkammerbilder, Gentner et al.

# Direkt ionisierende Strahlung

Elektrisch geladene Teilchen geben ihre kinetische Energie „quasi-kontinuierlich“ in Form kleiner Energieportionen entlang ihrer Flugbahn in Materie ab. Dies entspricht einem Bremsvorgang.

Es tritt dabei eine direkte Ionisierung der Materie entlang der Bahn auf.

Der Energieverlust im Bremsmaterial kann neben der Ionisierung auch zu einer Anregung der Atom führen.

Da die anfängliche kinetische Energie der Teilchen in kleinen Portionen an die Umgebung abgegeben wird, besitzen geladene Teilchen eine maximale Reichweite, die erreicht wird, wenn keine kinetische Energie mehr verfügbar ist.

Die Strahlungswirkung tritt entlang des gesamten Weges auf.



# Lineares Bremsvermögen

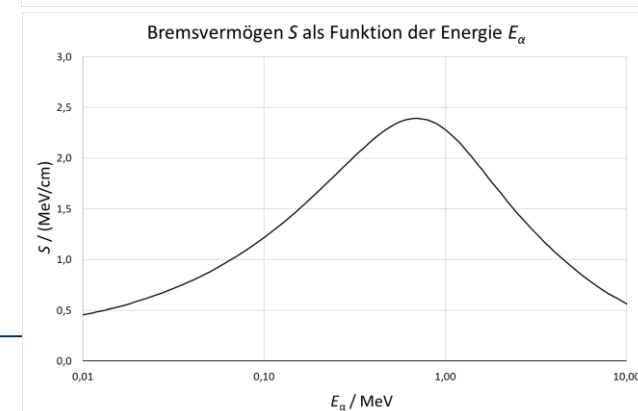
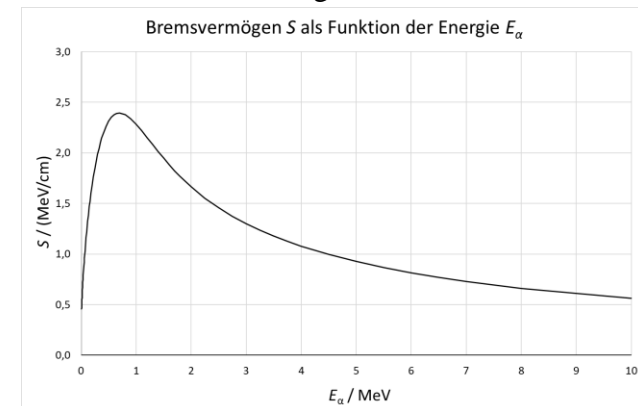
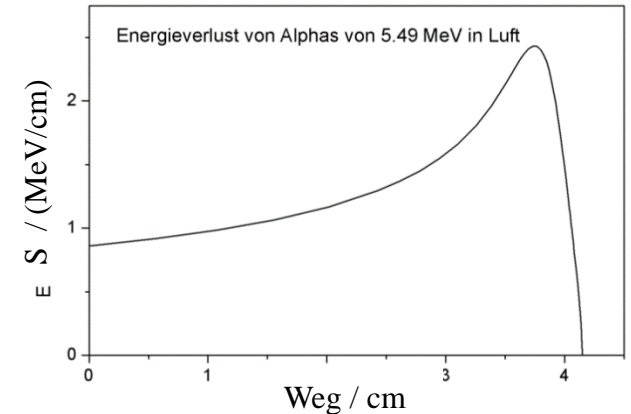
## Bragg-Kurve für $\alpha$ -Teilchen

Den Energieverlust pro Weglängenelement nennt man lineares Bremsvermögen.

$$S(E) = -\frac{dE}{dx}$$

Bei großer Geschwindigkeit ist das Bremsvermögen geringer als bei kleiner Geschwindigkeit. Kurz vor dem Bahnende erreicht das Bremsvermögen sein Maximum (Bragg-Peak).

**Merkregel: Schnelle Teilchen sind weniger wirksam als langsame Teilchen.**







HOCHSCHULE  
HANNOVER  
UNIVERSITY OF  
APPLIED SCIENCES  
AND ARTS

Fakultät II  
Maschinenbau und  
Bioverfahrenstechnik



J. F. Ziegler

# Programm SRIM

Man kann mit Google nach „SRIM download“ suchen. Eine Installation ist in wenigen Minuten möglich. SRIM ermöglicht Bremsvermögen und Reichweite von Ionen in Materie zu berechnen.

## Startseite

SRIM Main Menu

Calculation 6

Logo ?

SRIM

The Stopping and Range of Ions in Matter

Stopping / Range Tables ?

TRIM Calculation ?

Experimental Stopping Powers

J. F. Ziegler  
U.S.N.A.  
Annapolis, MD, USA

J. P. Biersack  
Hahn-Meitner Inst.  
Berlin, Germany

SRIM Version  
SRIM-2013.00

SRIM Tutorials

SRIM Textbook

Legal Notice

Quit

Significant contributions by Helmut Paul (Linz), Roger Webb (Surrey), Xiao Yu (Beijing)  
(c) 1984,1989,1998, 2008, 2012 by J. F. Ziegler, M.D. Ziegler, J. P. Biersack (SRIM.com)

## Stopping / Range Tables

Ion Stopping & Range Tables

Ion Stopping and Range Tables

Symbol	Name	Atomic Number	Mass (amu)	Ion Energy Range (keV)	
				Lowest	Highest
PT H	Hydrogen	1	1,008	10	10000

Target Description: Target

Density (g/cm3):

Gas Tgt:

Add Element    Compound Dictionary    Restore Last Target

Delete Element	Symbol	Name	Atomic Number	Weight (amu)	Stoich	Atom %
X	PT		0		1	100%

Stopping Power Units: MeV / (mg/cm2)

Compound Correction: 1

Calculate Table

Clear All

Main Menu    Quit

Problem Solving



# SRIM Output

Geladen Teilchen werden durch die Elektronenhülle und Stöße mit den Kernen gebremst.

$$(S/\rho)_{ges} = (S/\rho)_{elec.} + (S/\rho)_{nucl.}$$

Reichweite:

$$R_{CSDA} = \int_{E_0}^0 \frac{1}{S(E)} dE$$

Die Projected Range  $R_p$  ist auf Grund von Streuungen kleiner als  $R_{CSDA}$ .

Helium in Air, Dry (ICRU-104) (gas).txt - Editor

Datei Bearbeiten Format Ansicht ?

=====

SRIM version ---> SRIM-2013.00  
Calc. date ---> September 26, 2017

=====

Disk File Name = SRIM Outputs\Helium in Air, Dry (ICRU-104) (gas).txt

Ion = Helium [2] , Mass = 4,003 amu  $\alpha$ -Teilchen Luft

Target Density = 1,2048E-03 /cm3 = 6,7470E+19 atoms/cm3  
Target is a GAS

===== Target Composition =====

Atom Name	Atom Numb	Atomic Percent	Mass Percent
C	6	000,02	000,02
O	8	021,08	023,18
N	7	078,43	075,51
Ar	18	000,47	001,29

=====

Bragg Correction = 0,00%  
Stopping Units = MeV / (mg/cm2)  
See bottom of Table for other Stopping units

Tabelliert wird  $S/\rho$   
in der Einheit:  $\frac{MeV}{mg/cm^2}$   
Mögliche Umrechnungen:  
 $1 \frac{S}{\rho} \cdot \rho = 1 \frac{MeV}{mg/cm^2} \cdot 1 \frac{g}{cm^3} = 10^{-3} \frac{MeV}{cm}$

Ion Energy	dE/dx Elec.	dE/dx Nuclear	Projected Range	Longitudinal Straggling	Lateral Straggling
10,00 keV	3,172E-01	6,111E-02	132,97 um	54,63 um	47,80 um
11,00 keV	3,327E-01	5,797E-02	145,40 um	57,65 um	51,05 um
12,00 keV	3,475E-01	5,519E-02	157,64 um	60,46 um	54,14 um
13,00 keV	3,617E-01	5,271E-02	169,68 um	63,08 um	57,08 um
14,00 keV	3,753E-01	5,047E-02	181,52 um	65,53 um	59,89 um
15,00 keV	3,885E-01	4,844E-02	193,17 um	67,84 um	62,57 um
16,00 keV	4,012E-01	4,660E-02	204,65 um	70,00 um	65,14 um
17,00 keV	4,136E-01	4,490E-02	215,95 um	72,05 um	67,60 um



# $\alpha$ -Reichweite

$\alpha$  -Teilchen aus radioaktiven Zerfällen haben feste Energiewerte.

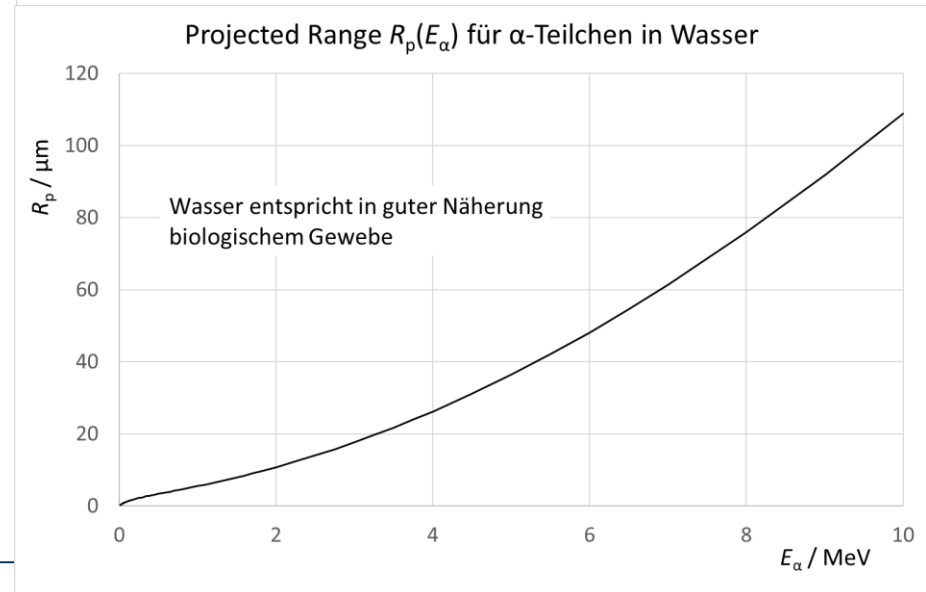
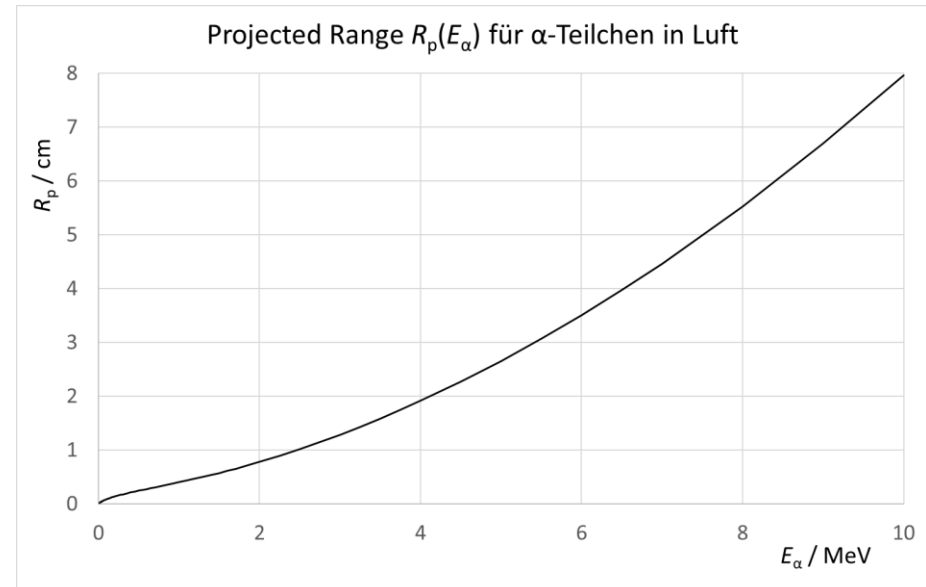
Pro 1 cm Luft werden circa 33 000 Ionenpaare gebildet. ( $5,3 \cdot 10^{-15}$  C).

Typische Reichweiten

in Luft: 2 cm bis 10 cm,

in Wasser: 20  $\mu\text{m}$  bis 100  $\mu\text{m}$ .

$\alpha$  -Teilchen werden zu He Gas. (Gasdruck kann bei gekapselten  $\alpha$ -Quellen ein Problem sein).





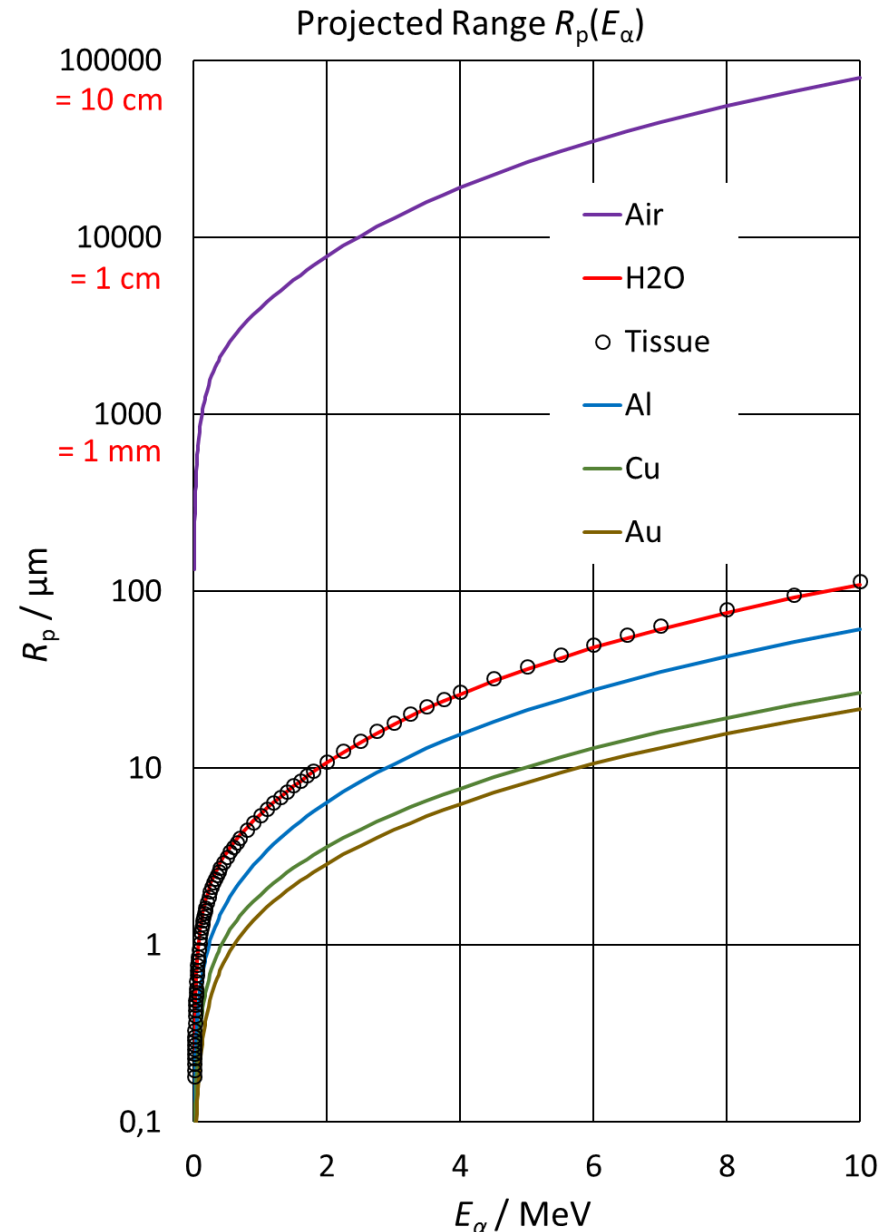
# Vergleich $\alpha$ -Reichweiten

Die Reichweite  $R(E)$  ist gleich dem Integral von  $1/S(E)$  zwischen Startenergie  $E_a$  und Endenergie  $E_e = 0$ .

$$R(E) = \int_{E_a}^{E_e=0} \frac{1}{S(E)} dE$$

Bei CSDA Rechnungen (continuous slowing down approximation) vernachlässigt man stochastische Effekte.

Realistische Ergebnisse erhält man durch Monte-Carlo-Simulation. Man berücksichtigt Streueffekt und erhält die projected Range  $R_p$ .





HOCHSCHULE  
HANNOVER  
UNIVERSITY OF  
APPLIED SCIENCES  
AND ARTS

Fakultät II  
Maschinenbau und  
Bioverfahrenstechnik

# Monte-Carlo-Simulation

Man kann mit Hilfe von TRIM kann man für einzelne Ionen den Bahnverlauf berechnen.  
 Monte-Carlo-Verfahren.  
 Man erhält ein realistisches Bild der Wechselwirkung von Ionen mit Materie, insbesondere des Straggeling.

SRIM-2013.00

File Help, FAQ and Scientific Explanations

ION  
 Ion Type He 4,003 amu  
 Ion Energy 5.48 MeV  
 Ion Angle 0 degrees  
 Completed 1000 of 1000  
 SHOW LIVE DATA HELP

TARGET DATA  
 ? H (10) into Layer 1 (1 layers, 4 atoms)

Layer Name	Width (Å)	Density	C (12,011)	O (15,999)	N (14,007)	Ar (39)
1 Air, Dry (ICRU-104)	450000000	0,001205	0,00015	0,21076	0,78442	0,0
Lattice Binding Energy			3	3	3	
Surface Binding Energy			7,41	2	2	

Calculation Parameters  
 Backscattered Ions 0  
 Transmitted Ions 0  
 Vacancies/Ion 106,8

ION STATS  

	Range	Straggle
Longitudinal	41.6 mm	392. um
Lateral Proj.	553. um	752. um
Radial	860. um	610. um

Type of Damage Calculation  
 ? Quick: Kinchin-Pease

Stopping Power Version  
 ? SRIM-2008

% ENERGY LOSS  

	Ions	Recoils
Ionization	99,77	0,05
Vacancies	0,00	0,00
Phonons	0,03	0,14

SPUTTERING YIELD  

	Atoms/Ion	eV/Atom
TOTAL		
C	0,000000	0,00
O	0,000000	0,00
N	0,000000	0,00

?  Save every 10000 ions  
 Random Number 837596  
 Counter HELP

Plots  
 PLOT Window  
 0 A - 450000000 A  
 Max Target Depth 450000000  
 COLLISION PLOTS  
 Ion/Recoils (XY) All  
 Ion/Recoils (XZ) None  
 Ions (no recoils) Tile  
 Lateral View (YZ) Clear  
 Background color White/Black

DISTRIBUTIONS  
 File Plot  
 Ion Distribution  
 Ion/Recoil Distribution  
 Lateral Range  
 Ionization  
 Phonons  
 Energy to Recoils  
 Damage Events  
 Integral Sputtered  
 Differential Ions  
 Backscattered Ions  
 Transmitted Ions  
 Collision Details  
 3-D Plots 3D Help  
 Ion Distribution 3D  
 Recoil-Dist. 3D  
 Ionization 3D  
 Phonons 3D  
 Target Damage 3D  
 HELP

XY Longitudinal  
 Depth vs. Y-Axis  
 + 22.5 mm  
 - 22.5 mm  
 Air, Dry (ICRU-104)  
 0 A - 45 mm  
 Save Save As Print Label Clear

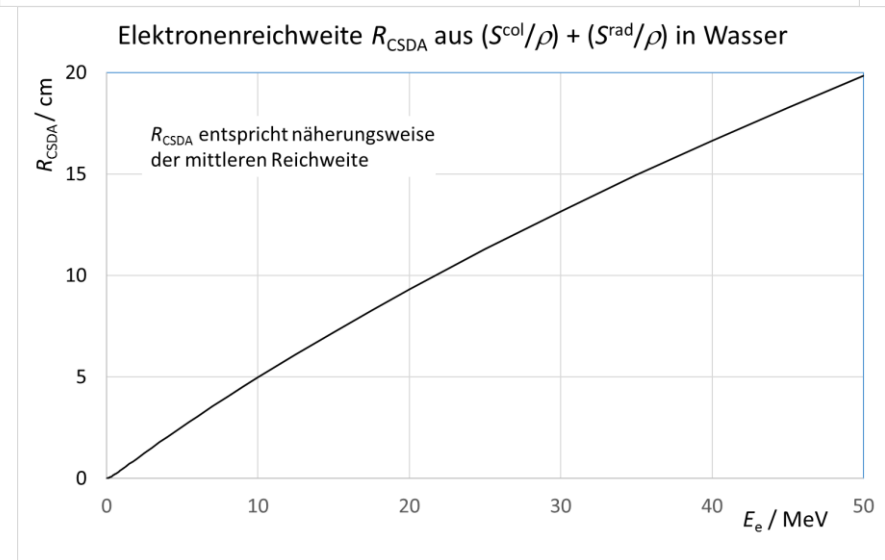
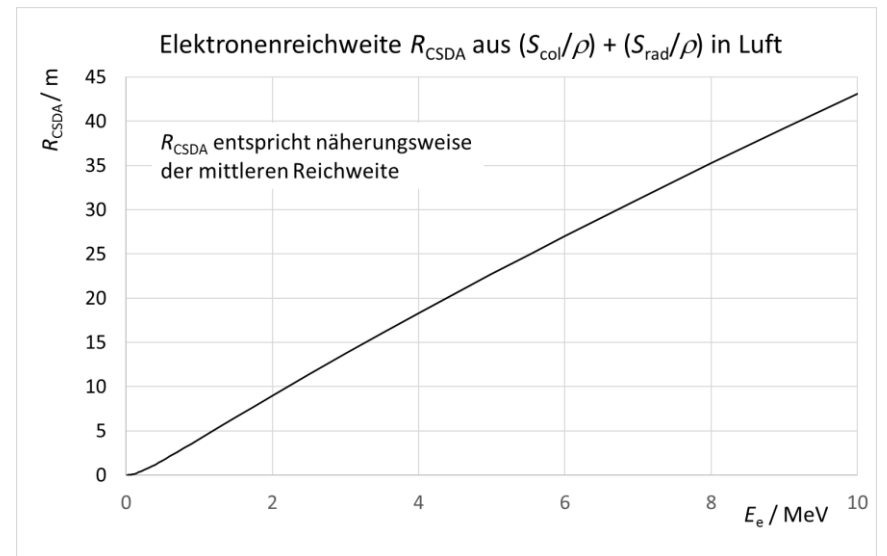
Depth vs. Y-Axis  
 + 5 mm  
 - 5 mm  
 Air, Dry (ICRU-104)  
 35 mm - 45 mm

$\beta$  -Teilchen aus radioaktiven  
Zerfällen besitzen kontinuierliche  
Energiespektren.

Pro 1 cm Luft werden ca. 300  
Ionenpaare gebildet ( $4,8 \cdot 10^{-17}$  C).  
Reichweite für Energien zwischen  
1 – 10 MeV

in Luft: 4 m - 45 m,  
in Wasser: 0,4 cm - 5 cm.

$\beta^-$  -Teilchen bleiben Elektronen,  
 $\beta^+$  zerstrahlt zusammen mit  $e^-$  in  
zwei Photonen mit  $E_\gamma = 511$  keV.



## Stopping-Power and Range Tables for Electrons, Protons, and Helium Ions

Quelle: <http://www.nist.gov/pml/data/star/index.cfm>

M.J. Berger,<sup>1</sup> J.S. Coursey,<sup>2</sup> M.A. Zucker<sup>2</sup> and J. Chang<sup>2</sup>

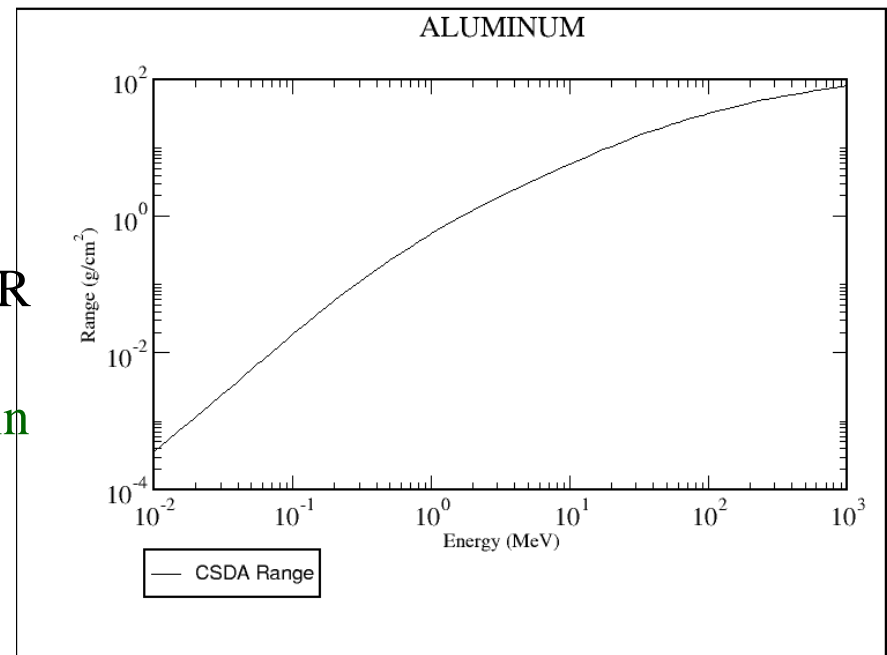
<sup>1</sup>NIST, Physics Laboratory, Ionizing Radiation Division

<sup>2</sup>NIST, Physics Laboratory, ECSED

Unter

<http://www.nist.gov/pml/data/star/index.cfm>  
können die Programme ESTAR für  
Elektronen, PSTAR für Protonen und ASTAR  
für  $\alpha$ -Teilchen verwendet und Tabellen und  
Diagramm für Stopping Power und Ranges in  
verschieden Materialien erzeugt werden.

Beispiel hier: Reichweite (CSDA) von  
Elektronen in Aluminium

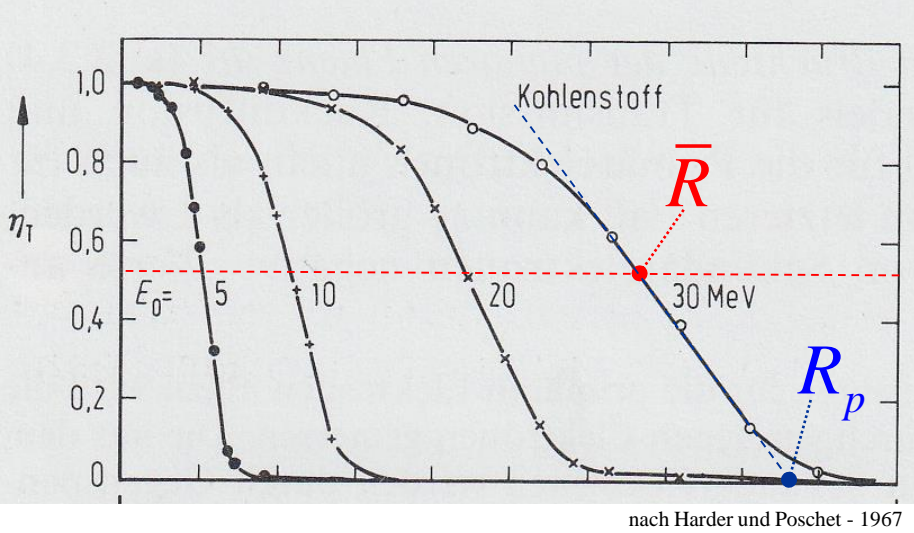
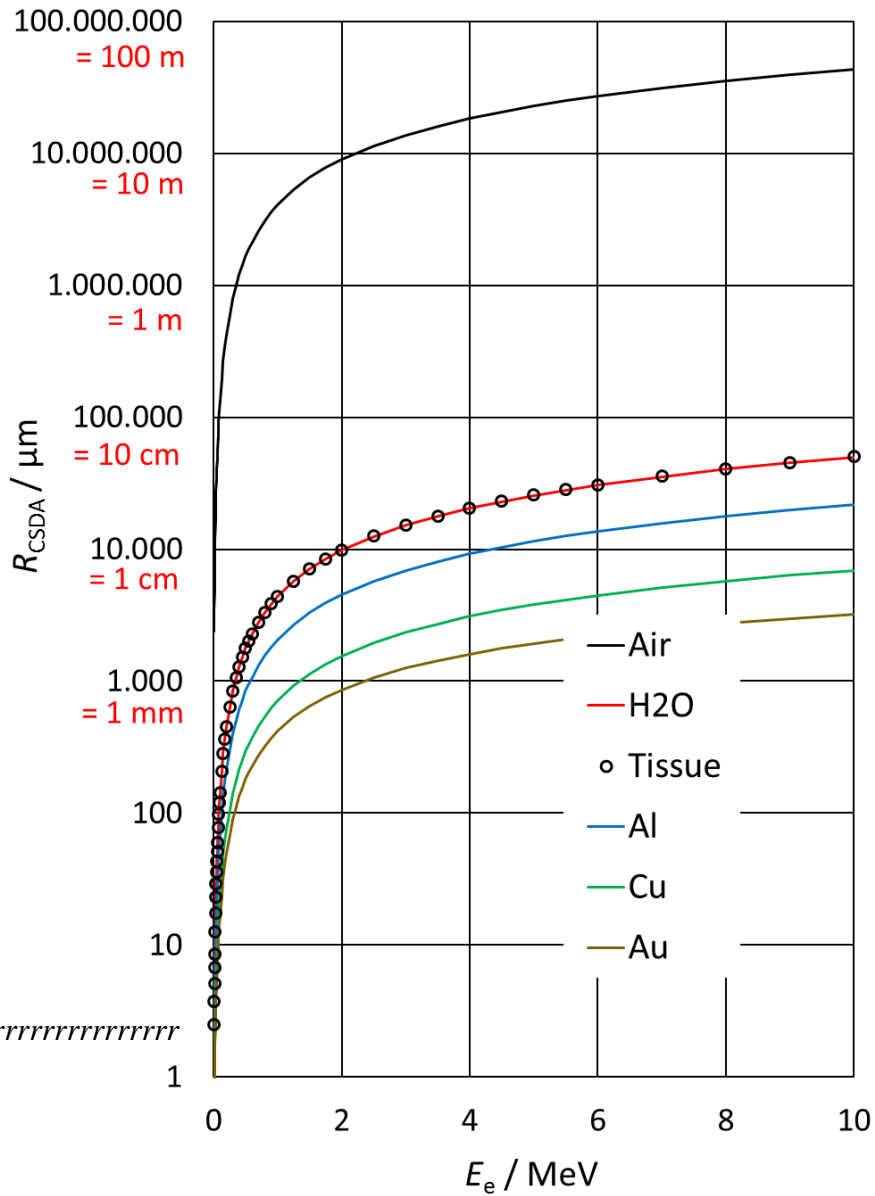




# Vergleich $\beta$ -Reichweite

Elektronen streuen sehr viel stärker als Ionen. Man verwendet zur Berechnung der Reichweiten das CSDA Modell. Die CSDA – Reichweite entspricht etwa einer mittleren Reichweite  $\bar{R}$ .

Continuous Slowing Down Approximation:  $R_{CSDA}(E_e)$



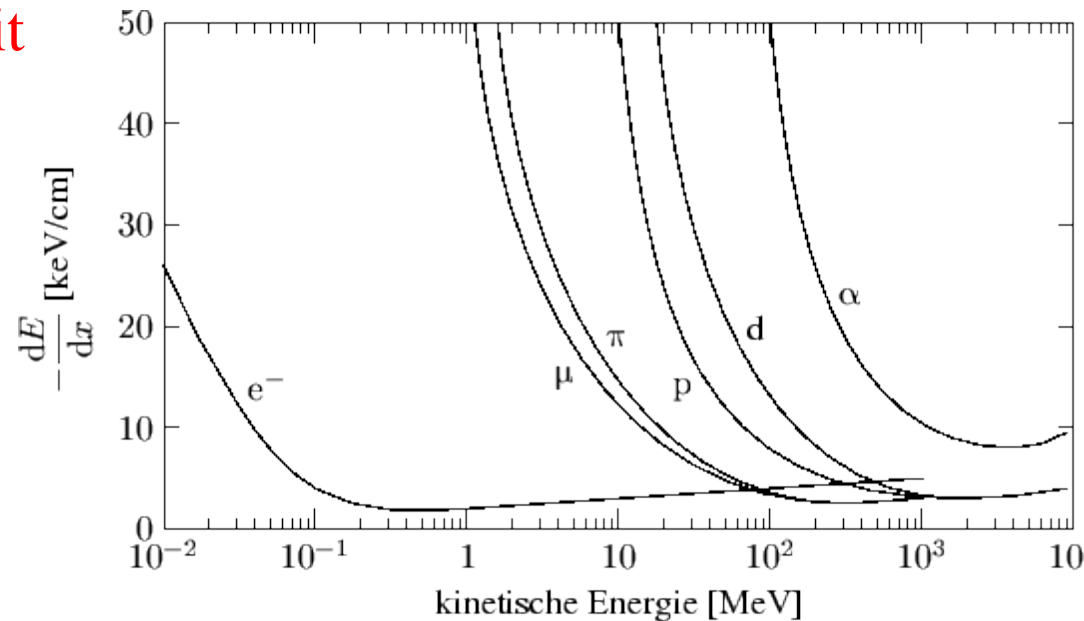
# Vergleich geladener Teilchen

Geladene Teilchen, z. B.  $e^-$ ,  $^1\text{H}^+$ ,  $^4\text{He}^{++}$ , unterscheiden sich hinsichtlich Masse und Ladungszustand. Bei kleinen Geschwindigkeiten gilt für das Bremsvermögen näherungsweise:

$$S(E) = -\frac{dE}{dx} \sim \frac{1}{v^2}$$

Je langsamer das Teilchen, umso größer die Ionisierung und damit die Wirkung.

Bei größeren Geschwindigkeiten treten relativistische Effekte auf, die bewirken, dass das Bremsvermögen wieder zunimmt. Auch bei kleineren Geschwindigkeiten ist die  $1/v^2$ -Abhängigkeit nur eine Näherung.



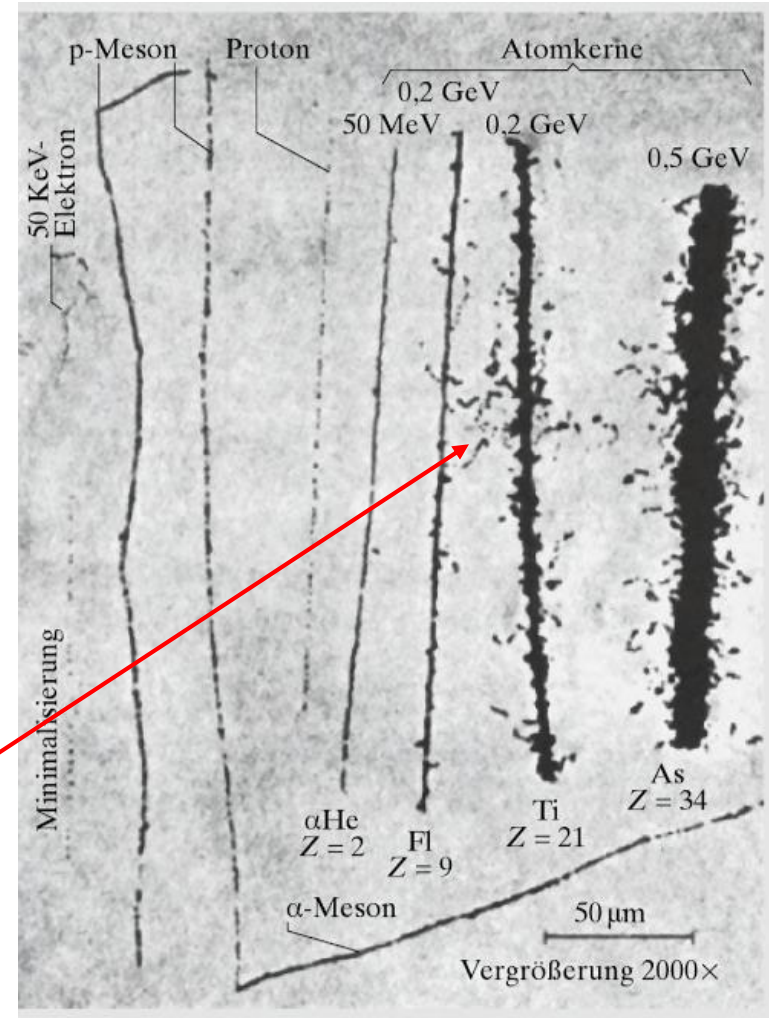
# Vergleich der Bahnspuren

Geladene Teilchen wie  $e^-$ ,  $e^+$ ,  $^1\text{H}^+$ ,  $^4\text{He}^{++}$  sowie schwere Ionen besitzen große Unterschiede in Masse und Ladung. Das Bremsvermögen kann daher sehr verschieden sein.

Das lineare Bremsvermögen entspricht einer Ionisierungsdichte (Zahl der Ionen pro Weglängeinheit). Leichte Teilchen zeigen geringe, schwere Teilchen starke Ionisierungsdichten.

Als  $\delta$ -Elektronen bezeichnet man Elektronen mit großer Energie entlang der Bahn.

$\delta$ -Elektronen transportieren von der eigentlichen Bahnspur weg und finden daher in der Strahlenbiologie Beachtung.



Quelle: Vogel, H.: Gerthsen Physik, Springer Verlag, 1997;  
 aus Finkelnburg, W.: Einführung in die Atomphysik.

# Ungeladene Teilchenstrahlung

- $\gamma$ -Strahlung:** Elektromagnetische Wellenstrahlung aus dem Atomkern stammend. Wegen der große Energie besitzt sie Teilchencharakter – Photonen genannt.
- Röntgenstrahlung:** Elektromagnetische Wellenstrahlung aus der Atomhülle. Große Ähnlichkeit mit  $\gamma$ -Strahlung.
- n-Strahlung:** Neutronenstrahlung - hat keine Wechselwirkung mit Hüllenelektronen, nur mit Atomkernen.
- $\nu$ -Strahlung:** Neutrino-Strahlung - neutrale Leptonen, machen (praktisch) überhaupt keine Wechselwirkung.
- Neutrale Teilchen können ohne Wechselwirkung in Materie eindringen und oft sogar durchdringen. Falls eine Wechselwirkung erfolgt, wird meist Energie in großen Portionen übertragen (Stoßprozesse).
- Als Folge der Wechselwirkung können geladene Teilchen entstehen.

# Indirekt ionisierende Strahlung

Die Wechselwirkung der indirekt ionisierenden Strahlung (Röntgen-,  $\gamma$ - und Neutronenstrahlung) ist ein stochastischer Vorgang ähnlich wie der radioaktive Zerfall.

Streng genommen ist auch die Wechselwirkung geladener Teilchen ein stochastischer Vorgang, aber die Zahl der Wechselwirkungen ist so groß, dass eine CSDA-Näherung verwendet wird. (CSDA - continuous slowing down approximation).

Die möglichen Wechselwirkungen der indirekt ionisierenden Strahlung besitzen bestimmte Wahrscheinlichkeiten. Einzelne Wechselwirkungen können nicht vorhergesagt werden.

Die Wahrscheinlichkeiten für bestimmte Wechselwirkungen werden durch ihre „Wirkungsquerschnitte“ ausgedrückt.

Der statistische Charakter der Wechselwirkung führt zu einem exponentiellem Schwächungsgesetz.



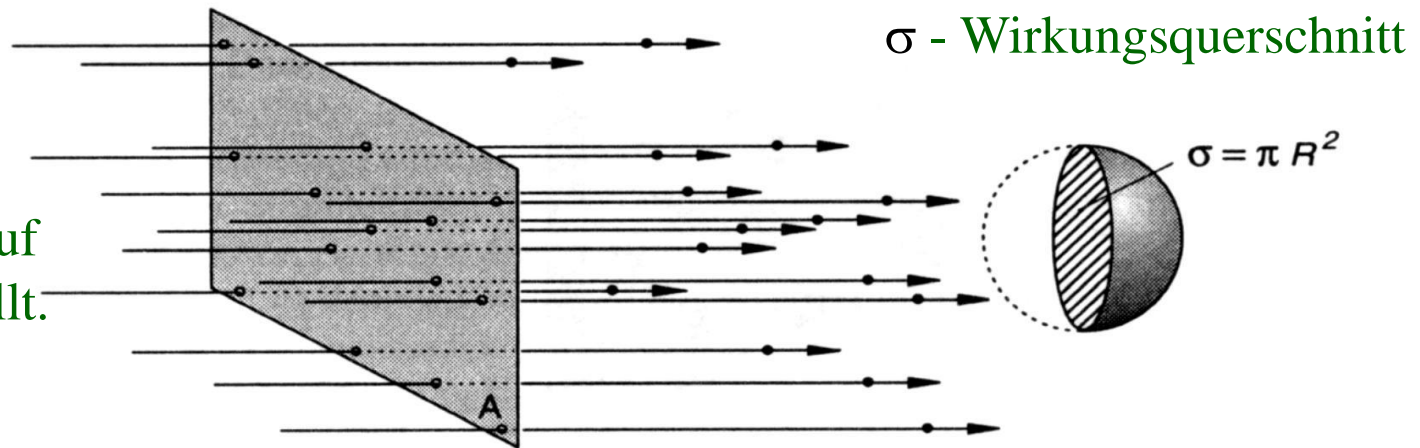
Carl Ramsauer  
1879 - 1955

# Wirkungsquerschnitt

Der Begriff wurde im Zusammenhang mit der Entdeckung des Ramsauer-Effekts erstmals verwendet.

Treffen kleine Projektile mit Radius  $r$ , die mit der Zahl  $N_P$  pro Fläche  $A$  ausgesandt werden, auf Ziele (Kugeln) mit Radius  $R$ , so führen alle Projektile, die innerhalb der Fläche  $\pi \cdot (r + R)^2$  liegen, zu einem Treffer. Falls  $r \ll R$  ist  $\sigma = \pi \cdot R^2$ . Die Trefferfläche  $\sigma$  wird Wirkungsquerschnitt genannt.

$N_P$  - Zahl der  
Projektile die auf  
die Fläche  $A$  fällt.





# Einheit des Wirkungsquerschnitts

Die SI-Einheit einer Fläche ist  $1 \text{ m}^2$ . Wirkungsquerschnitte (WQ) von atomaren und nuklearen Prozessen sind sehr viel kleiner als  $1 \text{ m}^2$ .  
Aus praktischen Gründen verwendet man die Einheit  $1 \text{ b} = 1 \text{ Barn}$ :

$$1 \text{ b} = 10^{-24} \text{ cm}^2 = 10^{-28} \text{ m}^2$$

(Die Einheit leitet sich vom engl. Begriff barn – Scheune ab, wobei die Redewendung, dass ein bestimmter Wirkungsquerschnitt „*as big as a barn*“ (frei übersetzt) „*groß wie ein Scheunentor*“ sei, Hintergrund dieser ungewöhnlichen Namensgebung gewesen sein soll.)

Zur Orientierung: Atomare und nukleare Wirkungsquerschnitt sind oft von vergleichbarer Größe wie die Querschnittsflächen der betreffenden Objekte.

Radius der Atome:  $\sim 0,1 \text{ nm}$  – atomare WQ:  $\sim 10^{-20} \text{ m}^2$

Radius der Atomkerne:  $(1 - 10) \text{ fm}$  – nukleare WQ:  $\sim 10^{-28} \text{ m}^2$

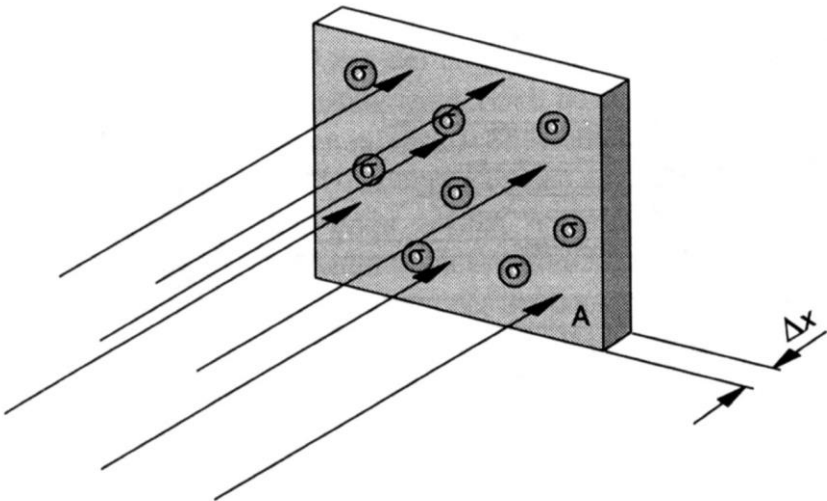
# Trefferstatistik in dünnen Schichten

Ein Schütze schießt mit  $N_p$  Projektilen auf eine Fläche  $A$ , die mit  $N_T$  Zielen der Querschnittsfläche  $\sigma$  besetzt ist. Wie viele Treffer  $N_R$  erzielt er?

- $N_R$  = Zahl der Treffer
- $N_T$  = Zahl der Ziele
- $\sigma$  = Querschnittsfläche des Einzelzieles
- $N_p/A$  = Zahl der Projektile pro Fläche  $A$

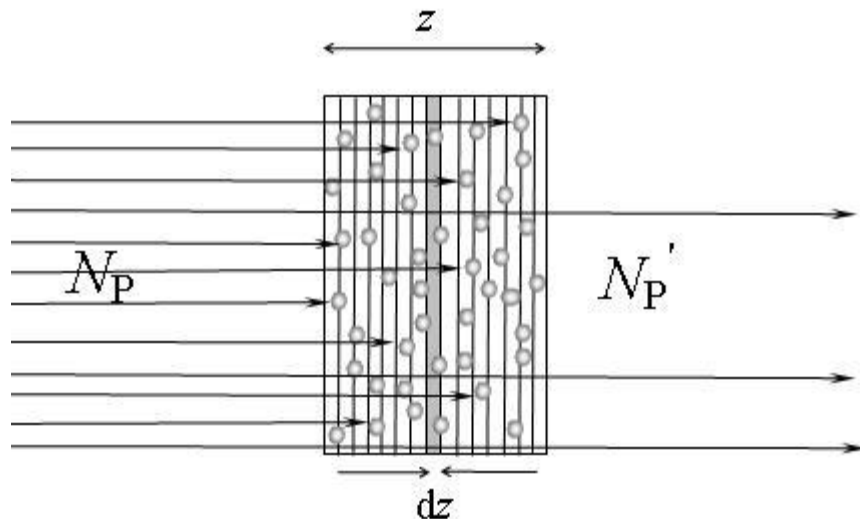
$$N_R = N_T \cdot \sigma \cdot \frac{N_P}{A}$$

Die Beziehung gilt nur für dünne Schichten mit  $N_T \cdot \sigma \ll A$ , da sonst „Verdeckung“ auftritt.



# Schwächung in dicken Schichten

In dicken Schichten ist  $N_T \cdot \sigma \gg A$ . Daher können Ziele am Ende der Schicht durch Zielen im vorderen Teil verdeckt werden. Deshalb zerlegt man die dicke Schicht  $z$  in zahlreiche "dünne Schichten" der Dicke  $dz$  und wendet dann ein Integrationsverfahren an.



$N_P$  = Zahl der Projektile vor der Schicht

$N_P'$  = Zahl der Projektile hinter der Schicht

$z$  = Gesamtdicke

$dz$  = Dicke der "dünnen Schicht"

# Zahl der Reaktion in der Schicht dz

In der "dünnen Schicht" dz finden  $dN_R$  Reaktionen statt. Es gilt:

$$dN_R = dN_T \cdot \sigma \cdot \frac{N_P}{A} \quad (1)$$

wobei  $dN_T$  die Zahl der Targetatome in der Schicht dz bezeichnet.

Bezeichnet man mit  $n_T$  die Zahl der Targetatome pro Volumen,

so gilt für  $dN_T$ :

$$dN_T = n_T \cdot A \cdot dz \quad (2)$$

Einsetzen von Gl. (2) in Gl. (1) ergibt:

$$dN_R = n_T \cdot A \cdot \sigma \cdot \frac{N_P}{A} \cdot dz \quad (3)$$

Projektile, die in der Schicht dz ein Ziel getroffen haben, sind danach

nicht mehr verfügbar. Deshalb gilt:  $dN_R = -dN_P$  (4)

Einsetzen von Gl. (4) in (3) ergibt die Abnahme der Projektilanzahl in der Schichtdicke  $dz$  gilt:

$$dN_p = -n_T \cdot \sigma \cdot N_p \cdot dz$$

Durch Integration über alle dünnen Schichten  $dz$  ergibt sich die Abnahme der Projektile in der Schicht der Dicke  $z$ :

$$\int_{N_{P,0}}^{N_P(z)} \frac{dN'_p}{N'_p} = -n_T \cdot \sigma \cdot \int_0^z dz'$$

Lösung:

$$N_P(z) = N_{P,0} \cdot e^{-n_T \cdot \sigma \cdot z}$$

Schwächungs-  
gesetz

$N_p(z)$  ist die Zahl der Teilchen hinter der Schichtdicke  $z$ .  $N_{p,0}$  ist die Teilchenzahl für  $z = 0$ .



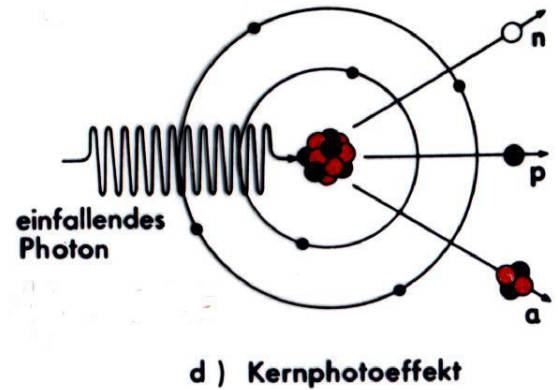
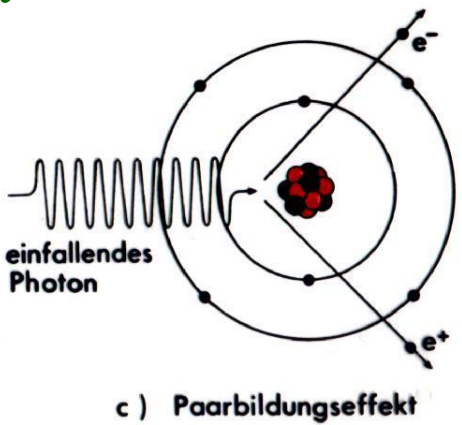
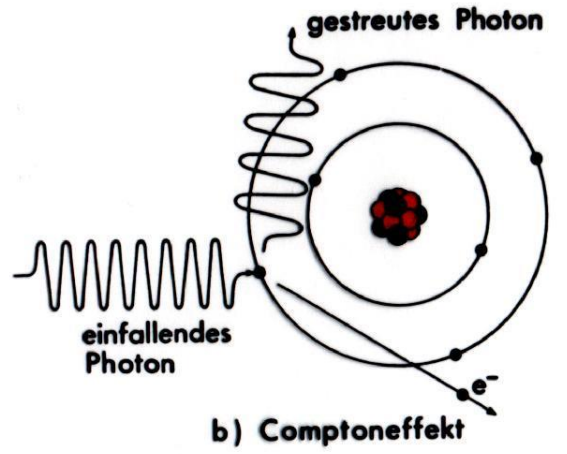
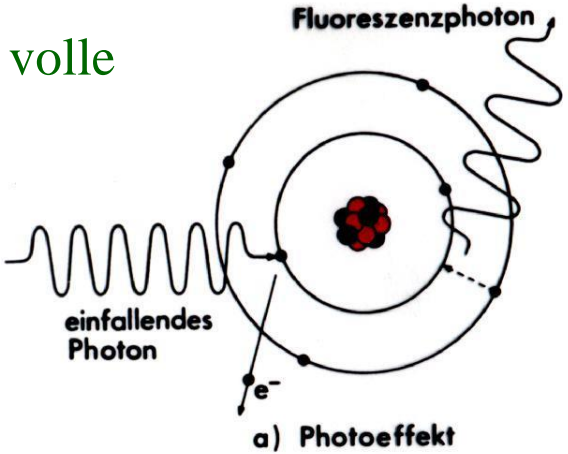
# Wechselwirkungen von Photonen

Photoeffekt: Photon überträgt volle Energie auf ein (inneres) Hüllenelektron.

Comptoneffekt: Photon überträgt Teilenergie auf ein (äußeres) Hüllenelektron.

Paarbildungseffekt: Photon bildet im Kernfeld ein Paar  $e^+/e^-$  und überträgt diesen seine Energie.

Kernphotoeffekt: Photon überträgt seine Energie auf ein oder mehrere Kernbausteine.



# Wechselwirkungs- Eigenschaften

Die verschiedenen Effekte tragen je nach Energie der Photonenstrahlung unterschiedlich zur Schwächung bei:

**Photoeffekt:** Wirkt besonders stark bei kleinen Energien, insbesondere im Energiebereich  $10 \text{ keV} < E_{\text{Photon}} < 100 \text{ keV}$ . Er tritt bei sehr schweren Elementen bis zu einer Photonenenergie von  $1 \text{ MeV}$  auf.

**Comptoneffekt:** Zeigt nur eine geringe Energieabhängigkeit. Er ist bei Energien von ca.  $100 \text{ keV}$  maximal.

**Paarbildung:** Für Photonenenergie  $E_{\text{photon}} < 1022 \text{ keV}$  ist Paarbildung unmöglich. Bei hohen Energien wird die Paarbildung zur dominierenden Wechselwirkung.

**Kernphotoeffekt:** Nur bei hohen Energien ( $> 4 \text{ MeV}$ ) relevant.

# Additivität der Wirkungsquerschnitte

Photoeffekt, Comptoneffekt, Paarbildung und Kernphotoeffekt (plus weitere) besitzen unabhängige, jeweils energieabhängige Wirkungsquerschnitte.

Wirkungsquerschnitte (WQ) sind additiv:

$$\sigma_{ges} = \sigma_{Photo} + \sigma_{Compton} + \sigma_{Paarbildung} + \dots$$

Empfohlene Datenquelle:

NIST - National Institute for Standards and Technology, USA

XCOM: Photon Cross Section Database

<http://physics.nist.gov/PhysRefData/Xcom/html/xcom1.html>

Additivität der WQ bedeutet, dass die verschiedenen Effekte unabhängig voneinander jeweils bestimmte Eintrittswahrscheinlichkeit haben und gemeinsam zur Gesamtwechselwirkung der Photonenstrahlung mit Materie beitragen.

Man schreibt das Schwächungsgesetz in verschiedenen Varianten und definiert auf diese Weise **zwei neue Größen** ( $\mu$  und  $\mu/\rho$ ) zur Beschreibung der Photonenwechselwirkung.

$$I(z) = I_0 \cdot e^{-n_T \cdot \sigma_{ges} \cdot z} = I_0 \cdot e^{-\mu \cdot z} = I_0 \cdot e^{-(\mu/\rho) \cdot \rho \cdot z}$$

- $I(z)$  = Strahlungsintensität hinter der Schicht der Dicke  $z$ , übliche Einheit:  $1 \text{ s}^{-1}$
- $I_0$  = Strahlungsintensität vor der Schicht der Dicke  $z$ , übliche Einheit:  $1 \text{ s}^{-1}$
- $\mu$  = **Schwächungskoeffizient**, übliche Einheit:  $1 \text{ cm}^{-1}$
- $n_T$  = Zahl der Atome pro Volumeneinheit, übliche Einheit:  $1 \text{ cm}^{-3}$
- $\sigma_{ges}$  = Gesamtwirkungsquerschnitt, übliche Einheit:  $1 \cdot 10^{-24} \text{ cm}^2$
- $\mu/\rho$  = **Massenschwächungskoeffizient**, übliche Einheit:  $1 \text{ cm}^2 \cdot \text{g}^{-1}$
- $\rho$  = Massendichte, übliche Einheit:  $1 \text{ g} \cdot \text{cm}^{-3}$
- $z$  = Schichtdicke, übliche Einheit:  $1 \text{ cm}$

# Umformung von Größen

Dichte  $\rho$  kann als Masse  $m$  pro Volumen  $V$  oder als molare Masse  $M$  geteilt durch das molare Volumen  $V_m$  ausgedrückt werden.

Das Molvolumen  $V_m$  ist das Produkt aus Teilchenvolumen  $V_M$  multipliziert mit der Avogadro-Zahl  $N_A$ :

$$\rho = \frac{m}{V} = \frac{M}{V_m} = \frac{M}{V_M \cdot N_A}$$

Es folgt für das Teilchenvolumen  $V_M$ :

$$V_M = \frac{M}{\rho \cdot N_A}$$

Die Zahl der Atome pro Volumeneinheit  $n_T$  ist der Kehrwert des Teilchenvolumens  $V_M$ . Es folgt:

$$n_T = \frac{1}{V_M} = \frac{N_A \cdot \rho}{M}$$

# Umformung von Größen

Der Schwächungskoeffizienten  $\mu$  kann in folgender Form dargestellt werden.

$$\mu = n_T \cdot \sigma_{ges} = \frac{N_A \cdot \rho}{M} \cdot \sigma_{ges}$$

Folgerung: Der Wirkungsquerschnitt  $\sigma_{ges}$  ist proportional zum Massenschwächungskoeffizienten  $\mu/\rho$ .

$$\sigma_{ges} = \frac{M}{N_A} \cdot \left( \frac{\mu}{\rho} \right)$$

Die Zahl der Atome pro Masseneinheit  $n_{\square}$  ist gleich Zahl der Atome pro Volumen  $n_T$  geteilt durch die Dichte  $\rho$ .  $n_{\square}$  kann auch als Quotient der Avogadro-Zahl  $N_A$  und der Molmasse  $M_{mol}$  ausgedrückt werden:

$$n_{\square} = \frac{n_T}{\rho} = \frac{N_A}{M}$$



# Umformung von Größen

Aus den Gleichungen  $\sigma_{ges} = \frac{M}{N_A} \cdot \left( \frac{\mu}{\rho} \right)$  und  $n_{\square} = \frac{n_T}{\rho} = \frac{N_A}{M}$

folgt:  $\frac{\mu}{\rho} = \frac{N_A}{M} \cdot \sigma_{ges} = n_{\square} \cdot \sigma$

$\mu/\rho$  entspricht dem Produkt aus Wirkungsquerschnitt  $\sigma_{ges}$  und der Anzahl der Atome pro Masseneinheit  $n_{\square}$ .

Beim radioaktiven Zerfallsgesetz gilt für die Zerfallskonstante  $\lambda$  und die **Halbwertszeit**  $T_{1/2}$  die Verknüpfung:

$$T_{1/2} = \ln 2 / \lambda$$

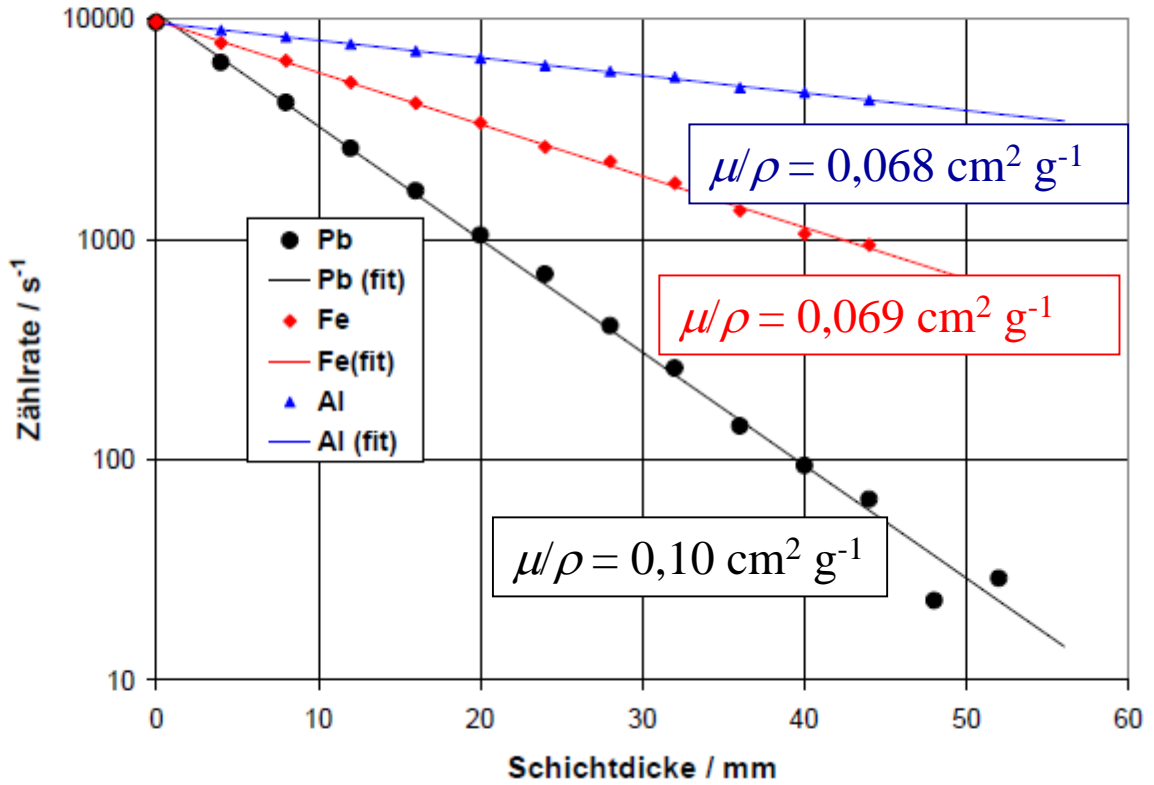
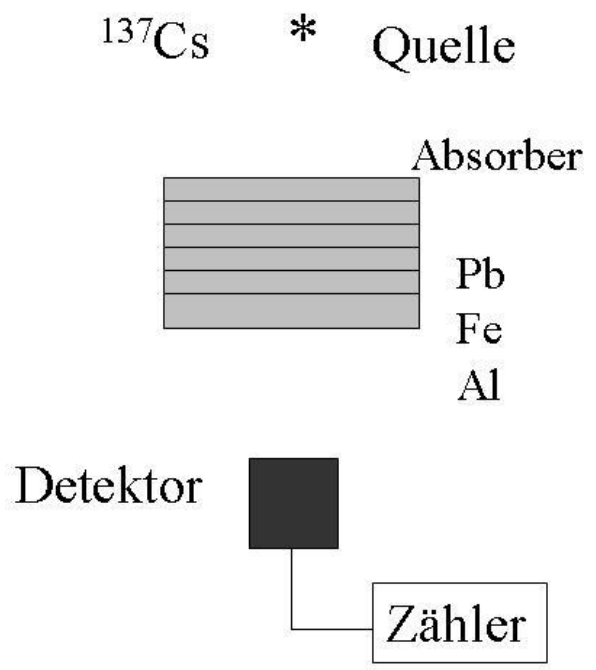
Beim Schwächungsgesetz kann man analog eine **Halbwertsdicke**  $d_{1/2}$  definieren:

$$d_{1/2} = \ln 2 / \mu$$



# Experiment zur Strahlungsschwächung

Eine  $^{137}\text{Cs}$ -Quelle sendet  $\gamma$ -Strahlung der Energie 661 keV aus. Die Strahlung wird durch jeweils 4 mm dicke Platten aus Pb, Fe und Al geschwächt. Hinter den Platten wird die Strahlungsintensität gemessen. Schwächung der 661 keV Strahlung in Pb, Fe, Al



# Bestimmung des Wirkungsquerschnitts

Das Diagramm zeigt für  $\ln(I/I_0)$  den erwarteten linearen Verlauf als Funktion der Absorberdicke  $x$ . Die Steigung entspricht dem Schwächungskoeffizienten  $\mu$ . Im Diagramm wurde der Massenschwächungskoeffizient  $\mu/\rho$  angegeben. (Das sind die Steigungswerte  $\mu$  geteilt durch die Dichte  $\rho$ )

Beispiel für Blei: 
$$\frac{\mu}{\rho} = 0,1 \text{ cm}^2 \text{ g}^{-1}$$

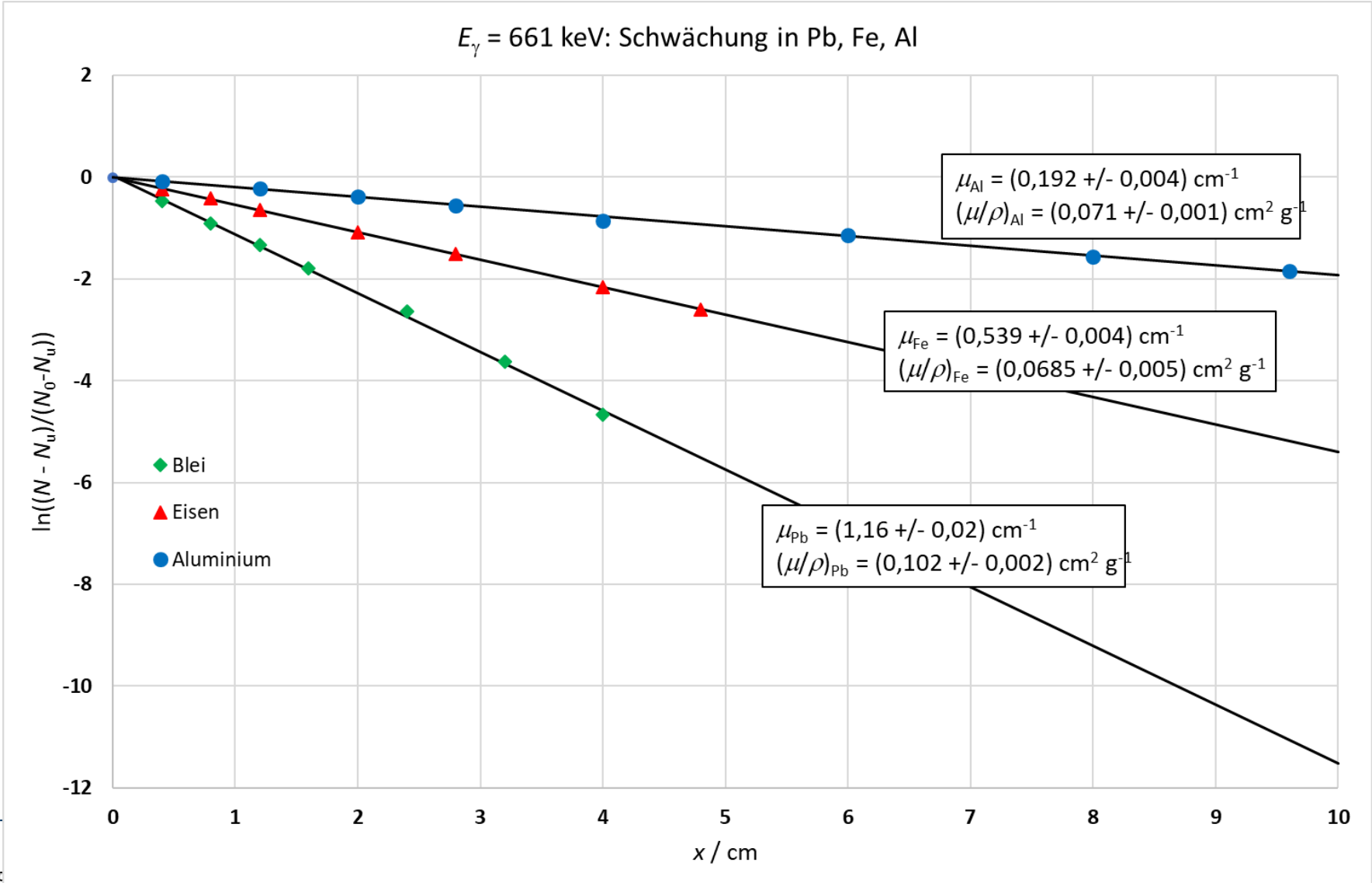
Wirkungsquerschnitt für Pb:

$$\sigma_{ges} = \frac{M}{N_A} \cdot \left( \frac{\mu}{\rho} \right) = \frac{207,2 \text{ g} \cdot \text{mol}^{-1}}{6,022 \cdot 10^{23} \text{ mol}^{-1}} \cdot 0,1 \frac{\text{cm}^2}{\text{g}} = 34 \cdot 10^{-24} \text{ cm}^2$$

Ein Wirkungsquerschnitt von  $\sigma = 34 \cdot 10^{-24} \text{ cm}^2 = 34 \text{ b}$  entspricht geometrisch einem Kreis mit Radius von  $3,3 \cdot 10^{-12} \text{ cm} = 33 \cdot 10^{-15} \text{ m} = 33 \text{ fm}$ .



# Auswertung der Messung vom 17.04.2019



# Auswertung der Messung vom 17.04.2019

	Aluminium	Eisen	Blei
Messung Schwächungskoeffizient: $\mu / \text{cm}^{-1}$	0,192 +/- 0,004	0,539 +/- 0,004	1,16 +/- 0,02
Massenschwächungskoeffizient: $(\mu/\rho) / \text{cm}^2 \text{g}^{-1}$	0,071 +/- 0,001	0,0685 +/- 0,005	0,102 +/- 0,002
Massenschwächungskoeffizient NIST	0,0705	0,0735	0,111
Abweichung von Theorie und Experiment	5%	7%	9%
Dichte: $\rho / \text{g cm}^{-3}$	2,699	7,874	11,35
Molare Masse: $M / \text{g mol}^{-1}$	26,982	55,845	207,20
Zahl Targetatome pro Volumen: $n_T / \text{cm}^{-3}$	6,02E+22	8,49E+22	3,30E+22
Wirkungsquerschnitt: $\sigma / \text{b}$	3,18	6,35	35,09



# Bragg Kleemann Regel

Der Massenschwächungskoeffizient  $\mu/\rho$  ist gleich dem Produkt aus Wirkungsquerschnitt  $\sigma_{\text{ges}}$  und Zahl der Atome pro Masseneinheit  $n_{\square}$ . Besteht ein Material aus  $i$  unterschiedlichen Atomsorten ( $i = 1, 2, 3, \dots, n$ ), deren relativer Massenanteil  $c_i$  ist, so gilt:

$$\left(\frac{\mu}{\rho}\right)_{\text{mittel}} = \sum_{i=1}^n c_i \cdot \left(\frac{\mu}{\rho}\right)_i \quad \text{Bragg-Kleemann-Regel}$$

mit:  $c_i = \frac{n_{\square,i}}{n_{\square}}$  und:  $n_{\square} = \sum_{i=1}^n n_{\square,i} = \sum_{i=1}^n c_i \cdot n_{\square} = n_{\square} \cdot \sum_{i=1}^n c_i$

Wasser:  $H_2O$ ; die relativen Massenanteile  $c_i$  sind:

$$H: \quad c_H = \frac{2 \cdot 1,00794}{2 \cdot 1,00794 + 1 \cdot 15,9994} = 0,111898$$

$$O: \quad c_O = \frac{1 \cdot 15,9994}{2 \cdot 1,00794 + 1 \cdot 15,9994} = 0,888102$$

Bariumsulfat:  $BaSO_4$

$$Ba: \quad c_{Ba} = \frac{1 \cdot 137,327}{137,327 + 32,066 + 4 \cdot 15,9994} = 0,5884$$

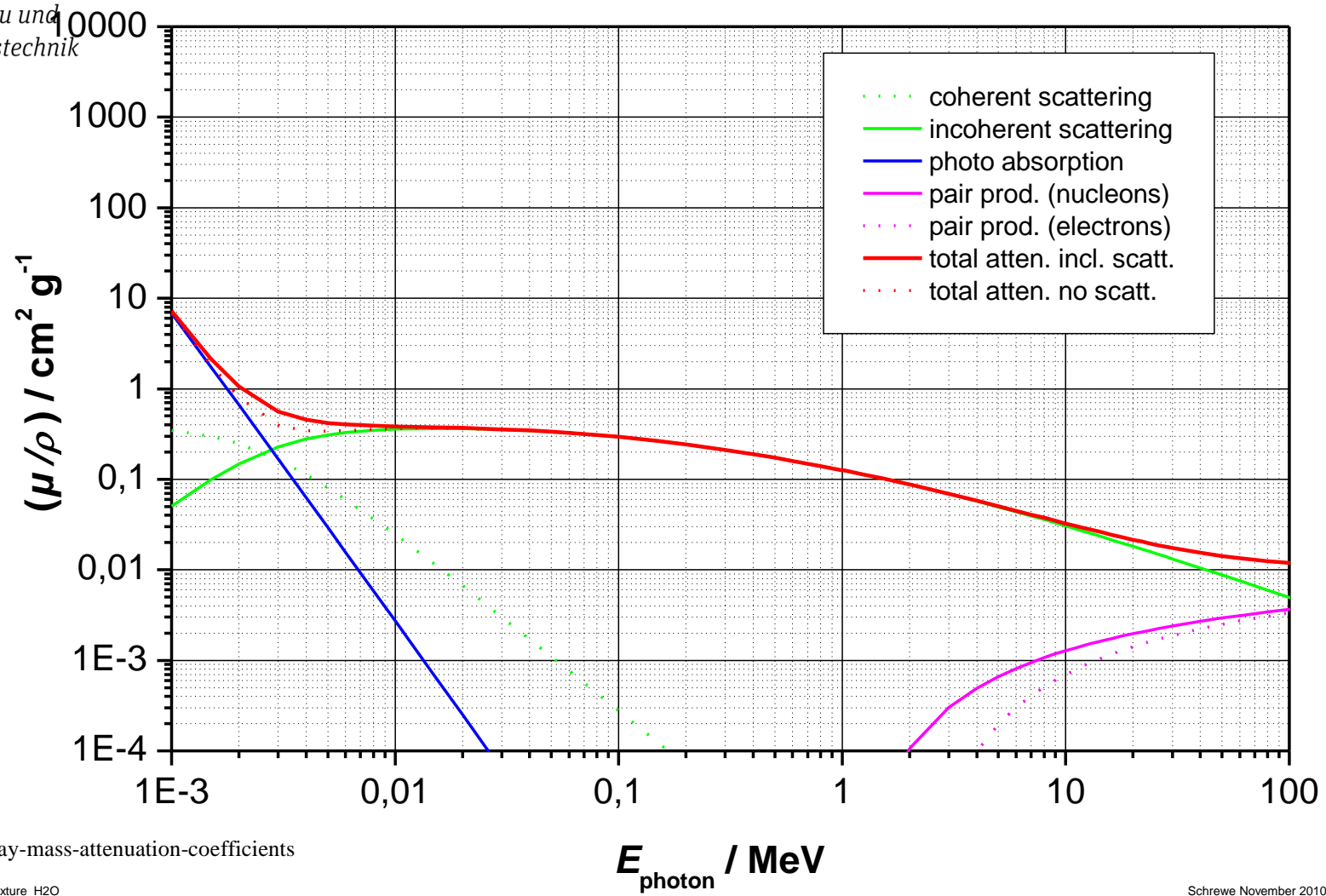
$$S: \quad c_S = \frac{1 \cdot 32,066}{137,327 + 32,066 + 4 \cdot 15,9994} = 0,1374$$

$$O: \quad c_O = \frac{4 \cdot 15,9994}{137,327 + 32,066 + 4 \cdot 15,9994} = 0,2742$$



## Water

H<sub>2</sub>O:  $\rho = 1,00 \text{ g cm}^{-3}$



Wasser hat  
sehr ähnliche  
Schwächungs-  
eigenschaften  
wie  
biologisches  
Gewebe.

<https://www.nist.gov/pml/x-ray-mass-attenuation-coefficients>

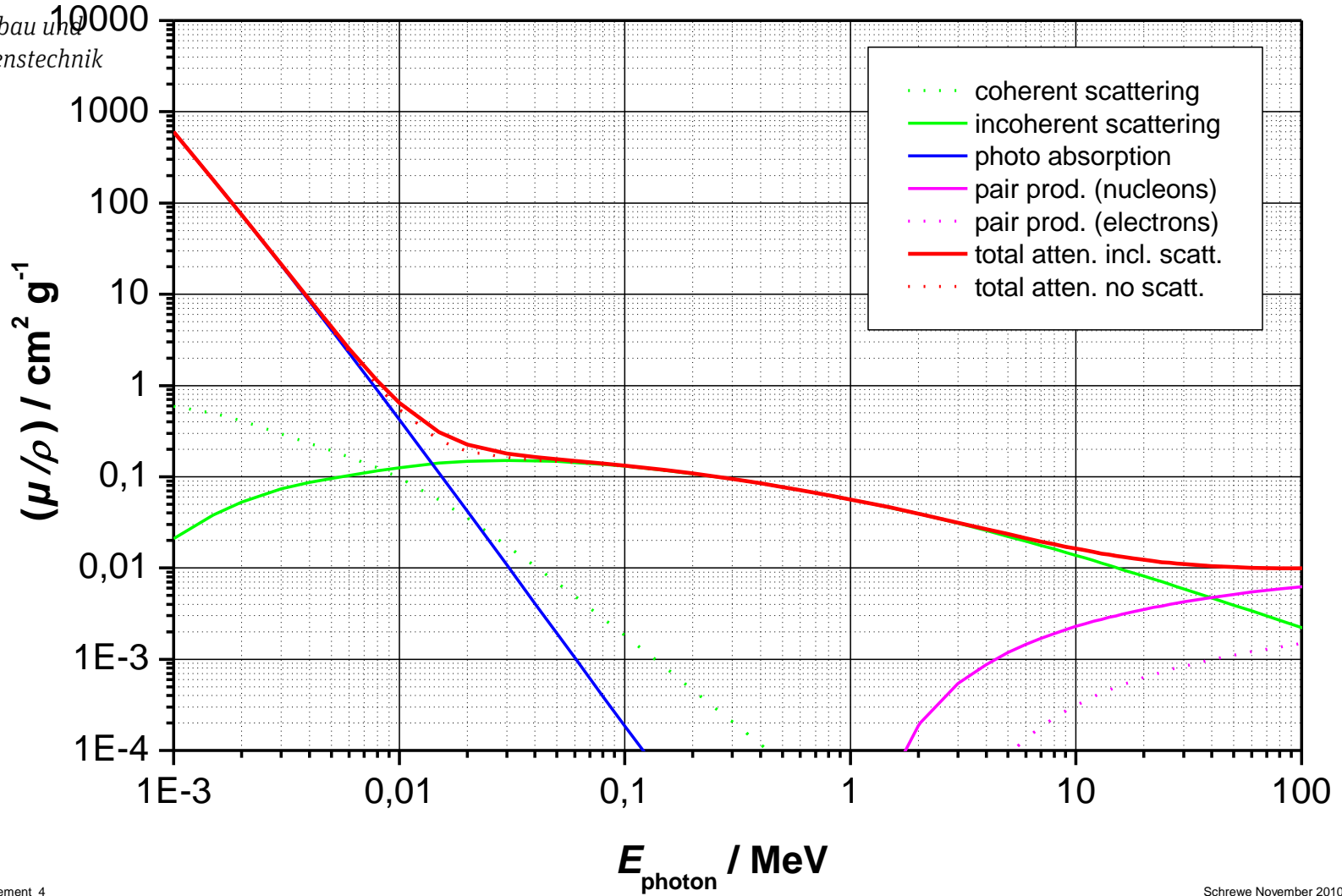
mixture\_H2O

Schrewe November 2010



## Beryllium

Be:  $Z = 4$ ,  $\rho = 1,848 \text{ g cm}^{-3}$



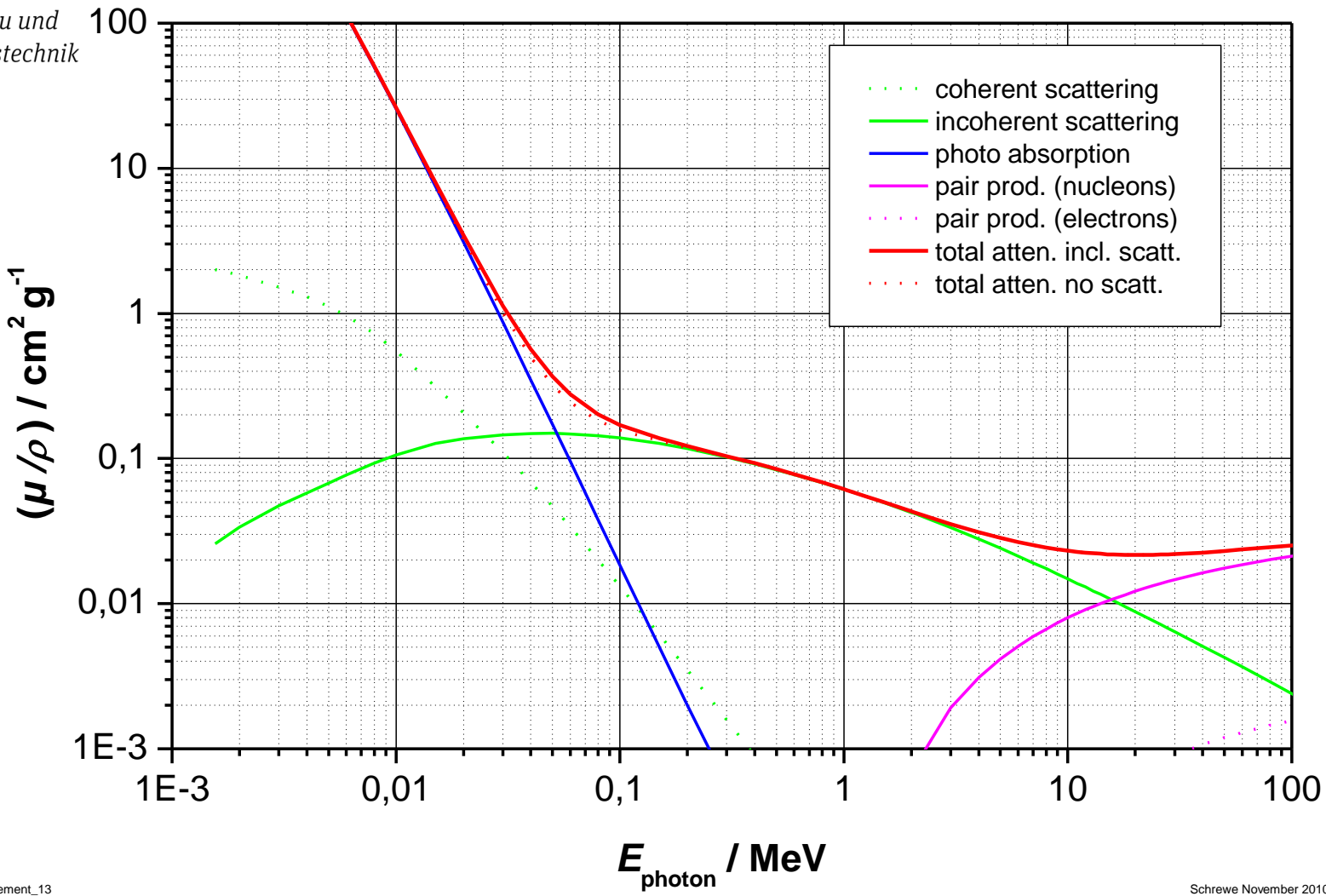
element\_4

Schrewe November 2010



## Aluminium

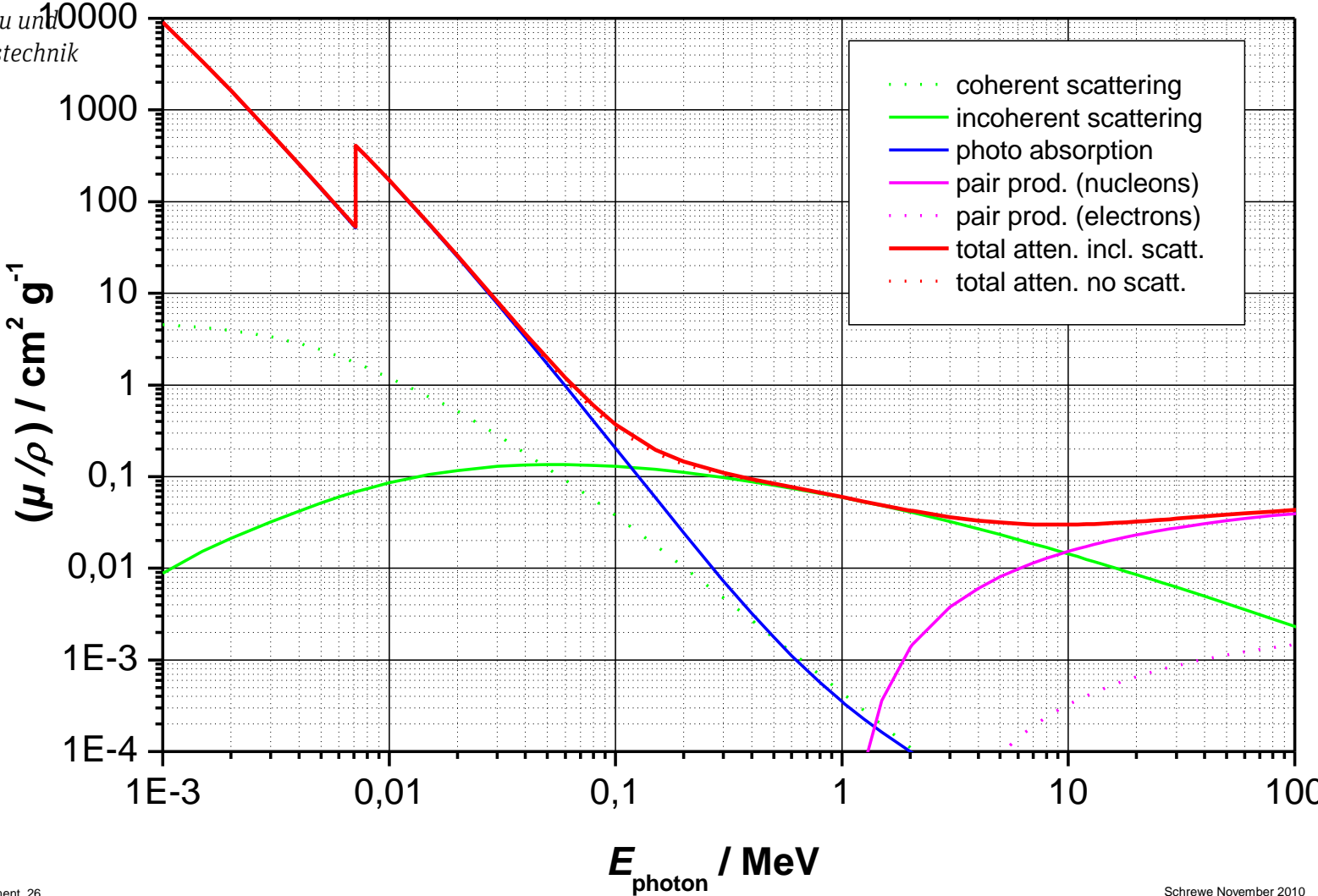
Al:  $Z = 13$ ,  $\rho = 2,699 \text{ g cm}^{-3}$





## Iron

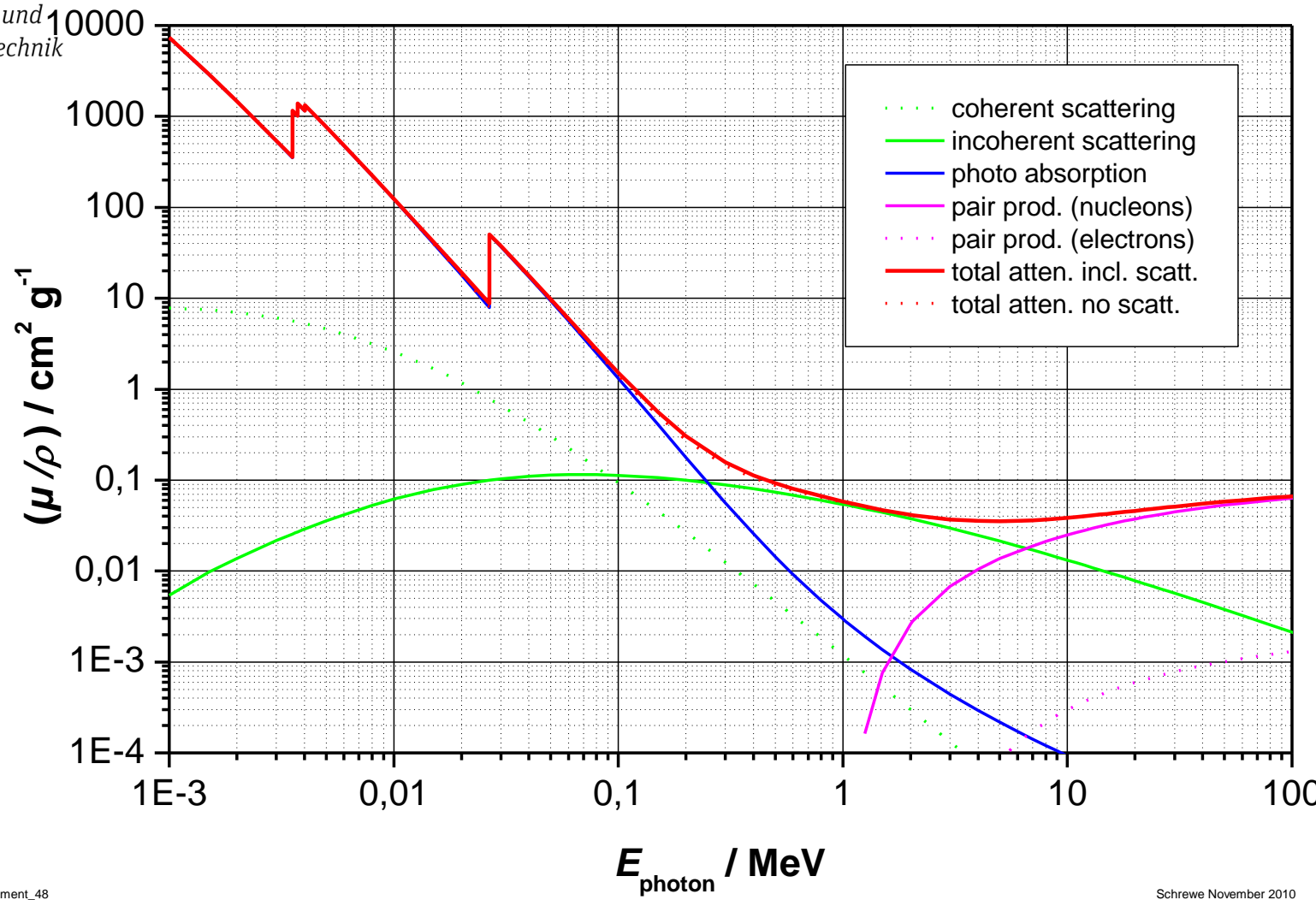
Fe:  $Z = 26$ ,  $\rho = 7,874 \text{ g cm}^{-3}$





## Cadmium

Cd:  $Z = 48, \rho = 8,65 \text{ g cm}^{-3}$



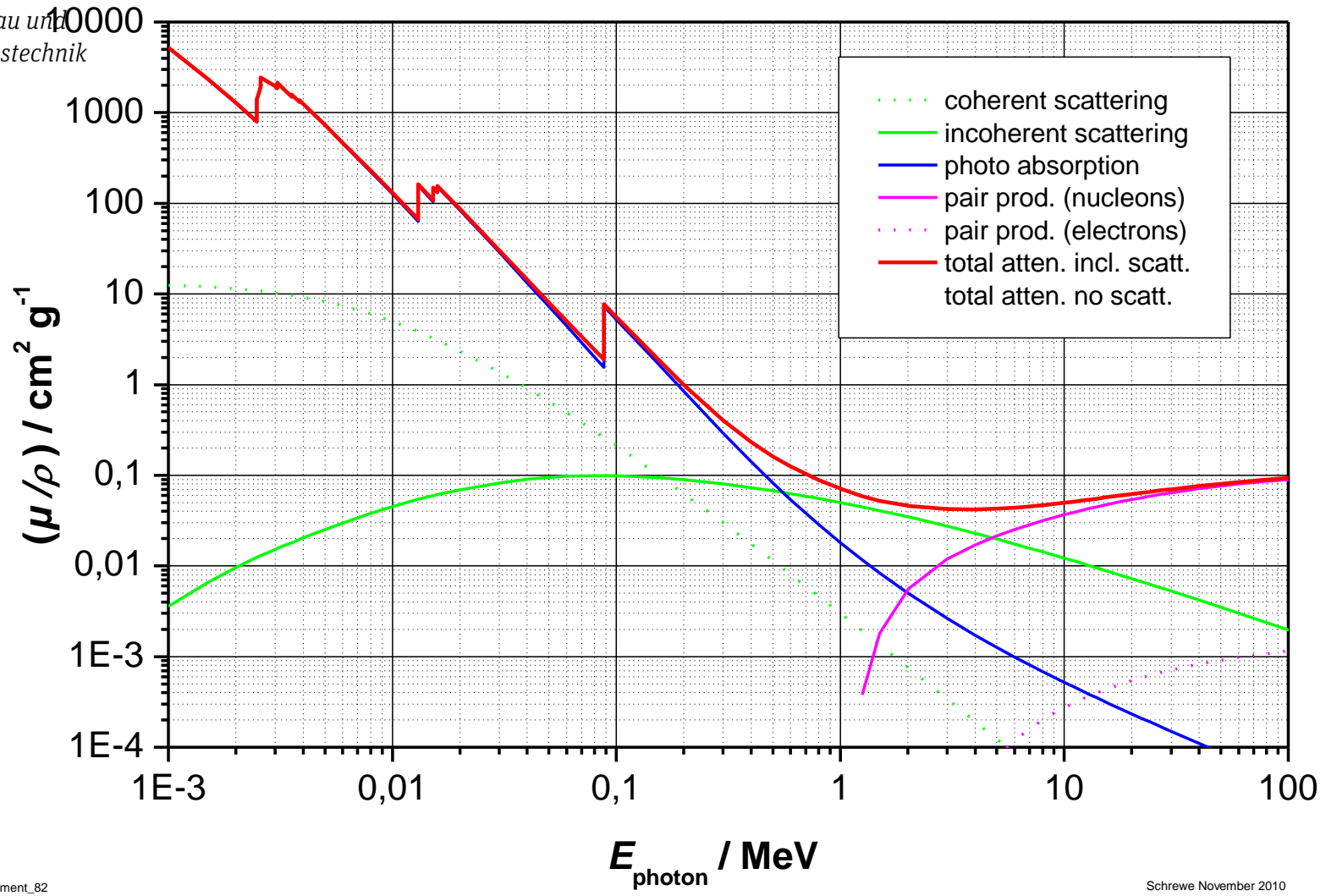
element\_48

Schrewe November 2010



## Lead

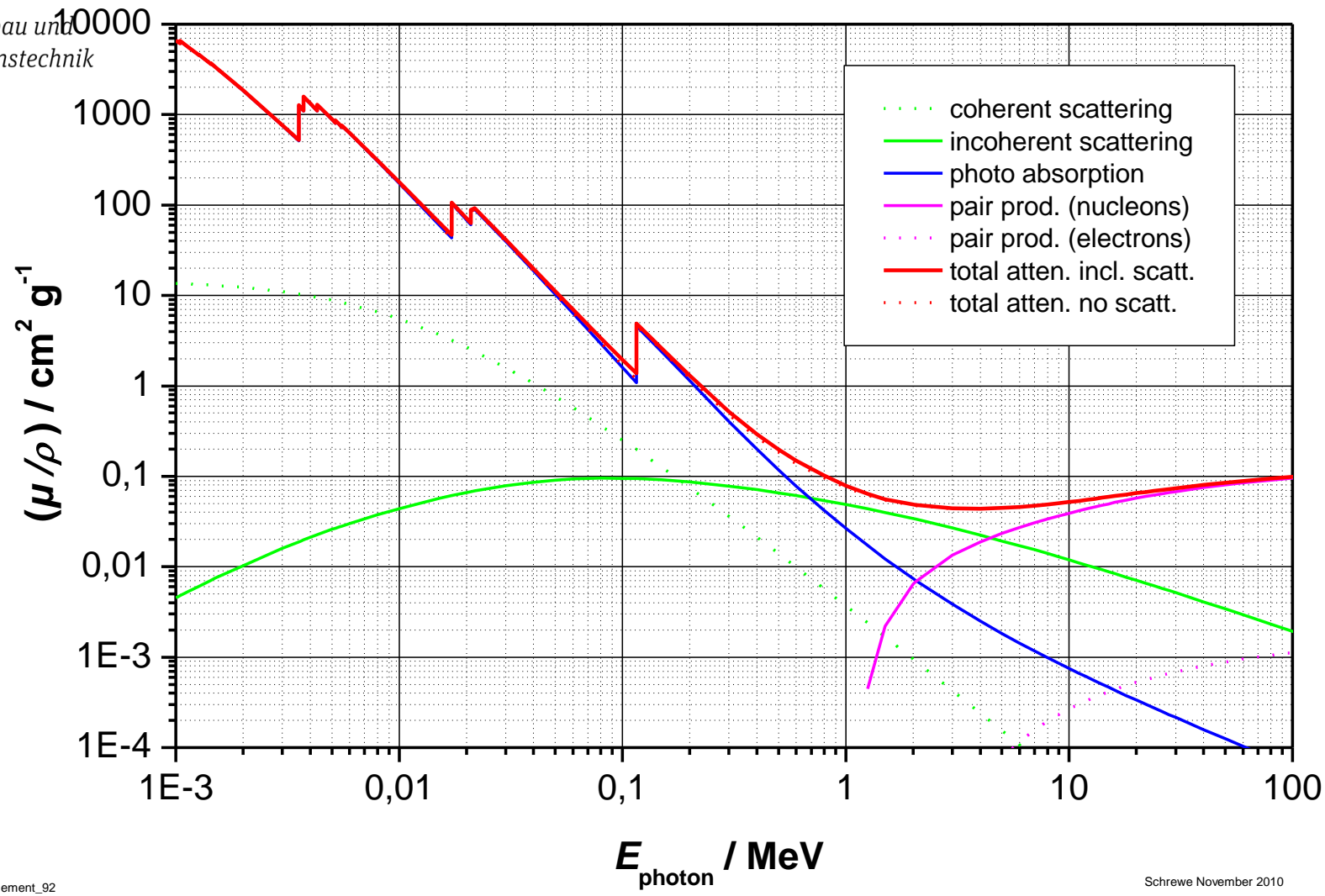
Pb:  $Z = 82$ ,  $\rho = 11,35 \text{ g cm}^{-3}$





## Uranium

U:  $Z = 92$ ,  $\rho = 18,96 \text{ g cm}^{-3}$

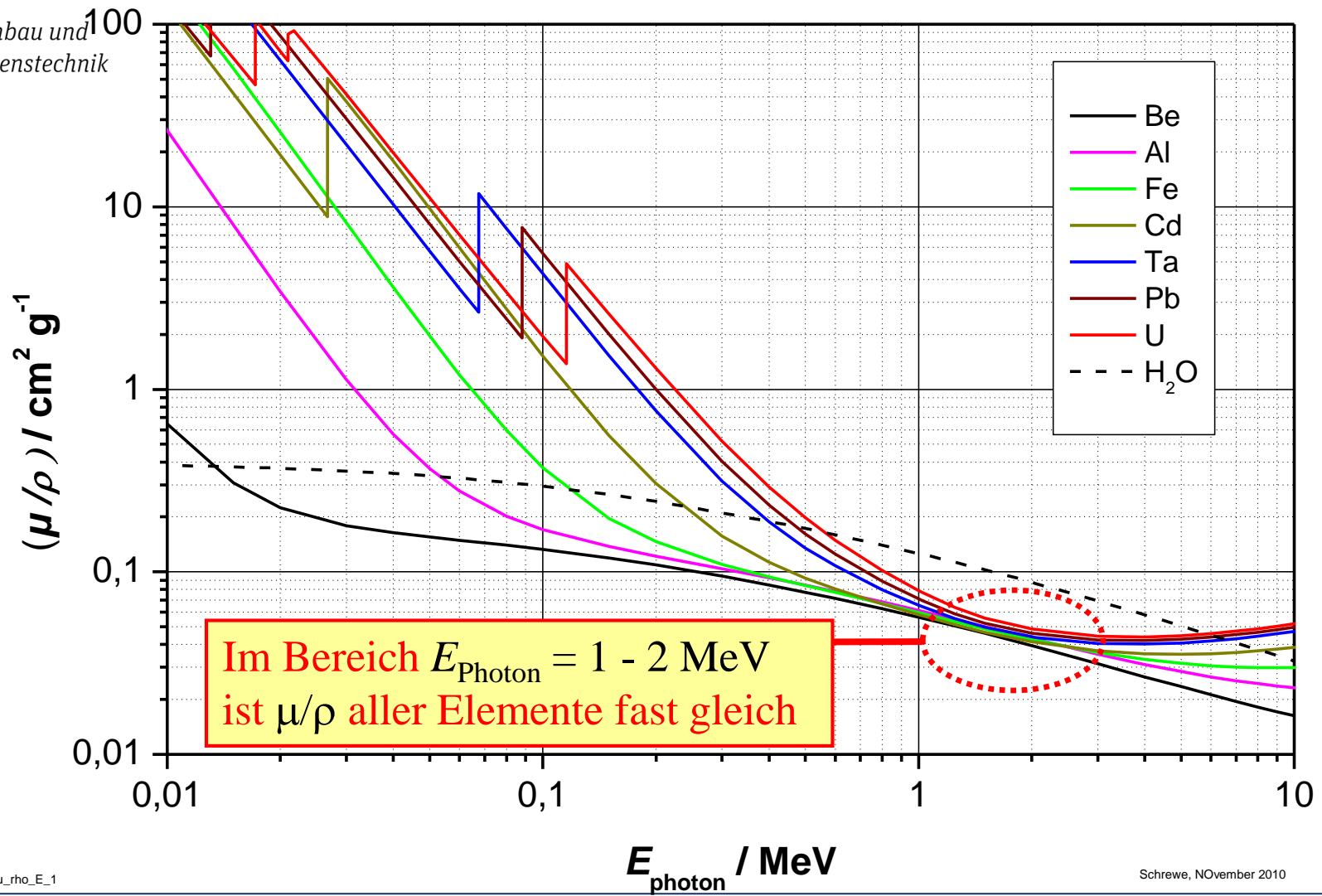


element\_92

Schrewe November 2010



## Mass attenuation coefficient $\mu/\rho$ for various materials

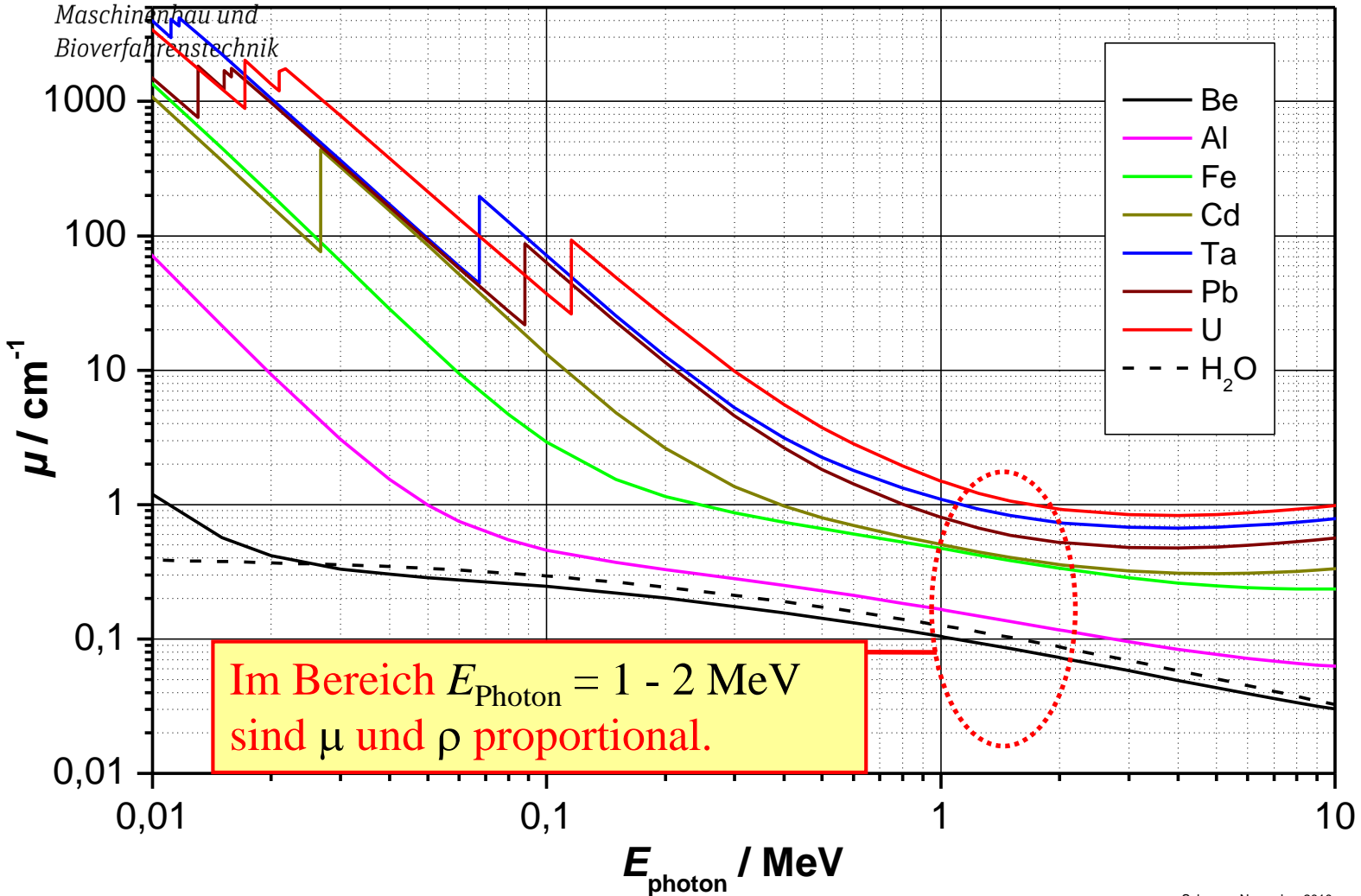


$\mu_{\text{rho\_E\_1}}$

Schrewe, November 2010

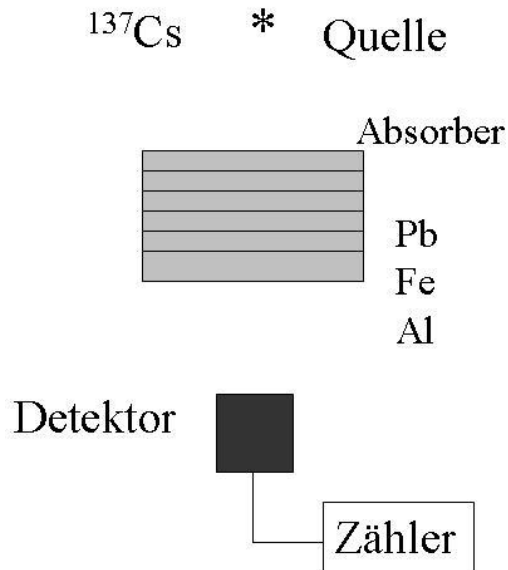


# Attenuation coefficient $\mu$ for various materials



# Dicken- und Dichtemessung

Bei der Dicken- bzw. Dichtemessung verwendet man im Prinzip gleiche Messverfahren: Gemessen wird die Strahlungsschwächung in einer Materieschicht der Dicke  $z$ . Die Schwächung ( $I(z)/I_0$ ) kann entweder der Dicke (wenn  $\mu = \text{konst.}$ ) oder der Dichte (wenn  $(\mu/\rho) \cdot z = \text{konst.}$ ) zugeordnet werden.



## Schwächungsgesetz

$$\frac{I(z)}{I_0} = \exp(-\mu \cdot z) = \exp\left(-\frac{\mu}{\rho} \cdot z \cdot \rho\right)$$

Dickenmessung:

Wenn  $\left(\frac{\mu}{\rho}\right) \cdot \rho = \mu = \text{konst.}$  wird die Dicke  $z$  gemessen.

Dichtemessung:

Wenn  $\left(\frac{\mu}{\rho}\right) \cdot z = \text{konst.}$  wird die Dichte  $\rho$  gemessen.

# Messempfindlichkeit $S$

Dicken- oder Dichtemessungen basieren auf Schwächungsmessungen. Dickenänderungen von  $x$  auf  $x + dx$  oder Dichteänderungen von  $\rho$  auf  $\rho + d\rho$  ergeben Intensitätsänderungen von  $-dI$ .

Als Messempfindlichkeit  $S$  bezeichnet man die relative Änderung des Messsignals  $dI/I_0$  geteilt durch die relative Änderung der Messgröße ( $dx/x$  oder  $d\rho/\rho$ ).

$$S = - \frac{dI/I_0}{dx/x} = - \frac{dI/I_0}{d\rho/\rho} = \frac{\text{relative Änderung des Messsignals}}{\text{relative Änderung der Dicke / Dichte}}$$

Um auch bei kleinen Änderungen von Dicke/Dichte möglichst große Änderungen des Messsignals zu erhalten, muss  $S$  möglichst groß sein.

# Maximale Empfindlichkeit

Schwächungsgesetz: 
$$I(x) = I_0 \cdot e^{-\mu \cdot x} \quad (1)$$

Ableitung von  $I(x)$ : 
$$\frac{dI}{dx} = -\mu \cdot I_0 \cdot (e^{-\mu \cdot x}) \quad (2)$$

Einsetzen von (1) und (2): 
$$S(x) = -\frac{dI/I_0}{dx/x} = \mu \cdot x \cdot e^{-\mu \cdot x} \quad (3)$$

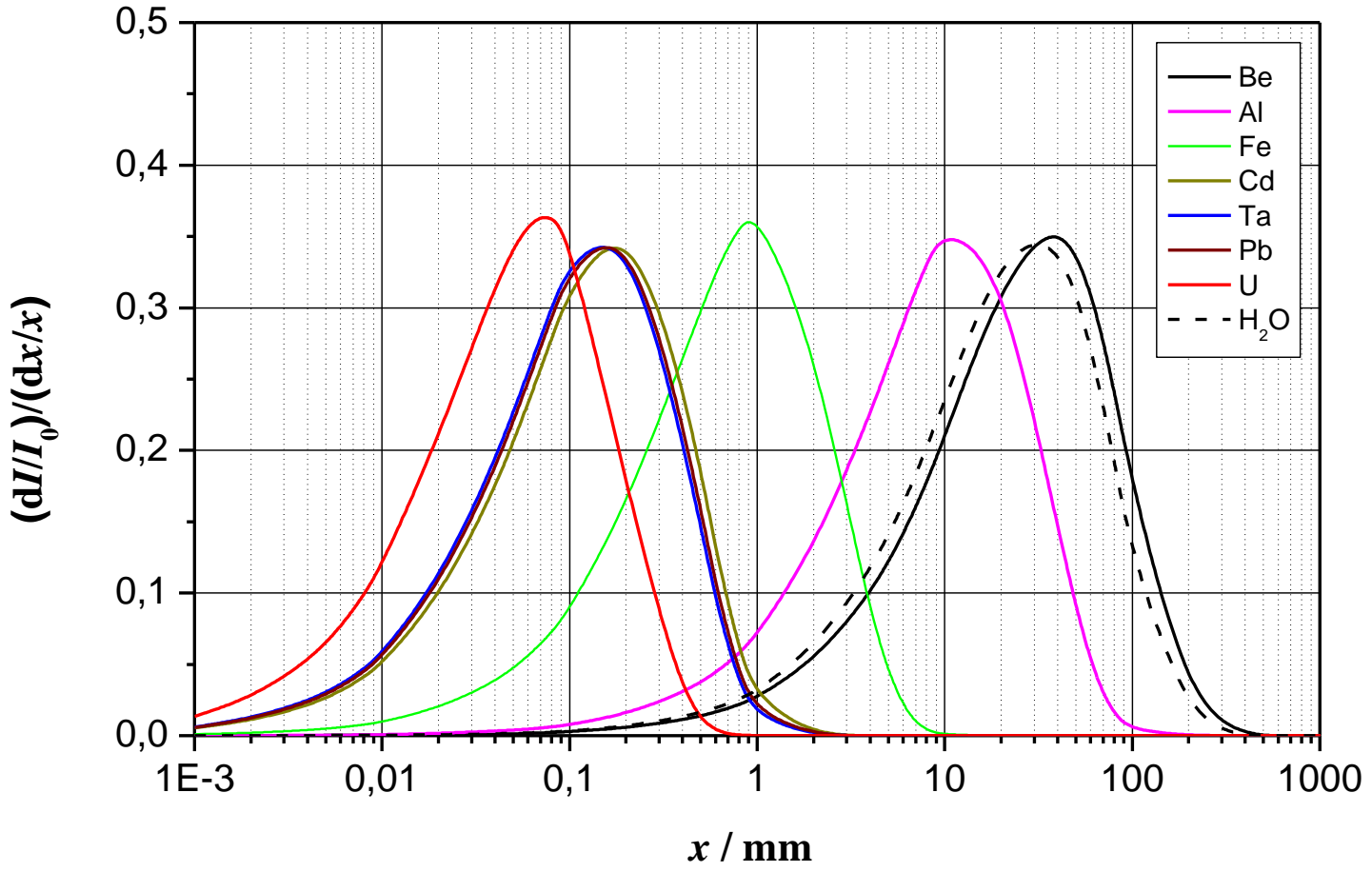
Zur Ermittlung des Maximums  $S_{\max}$  der Funktion  $S(x)$  in Gl. (3) bestimmt man die Nullstelle der ersten Ableitung:

$$\frac{d}{dx} S(x) = \frac{d}{dx} \left( (\mu x) \cdot (e^{-\mu x}) \right) = \mu \cdot e^{-\mu x} + (\mu x)(-\mu) \cdot e^{-\mu x} = e^{-\mu x} (\mu - \mu^2 x) = 0$$

**Lösung:** Für  $x_0 = 1/\mu$  erreicht  $S(x_0)$  das Maximum  $S_{\max}$ ,  
d. h. die Messempfindlichkeit ist für  $x_0 = 1/\mu$  optimal.



# Sensitivity $(dI/I_0)/(dx/x)$ for $E_{\text{photon}} = 60 \text{ keV}$ ( $^{241}\text{Am}$ )

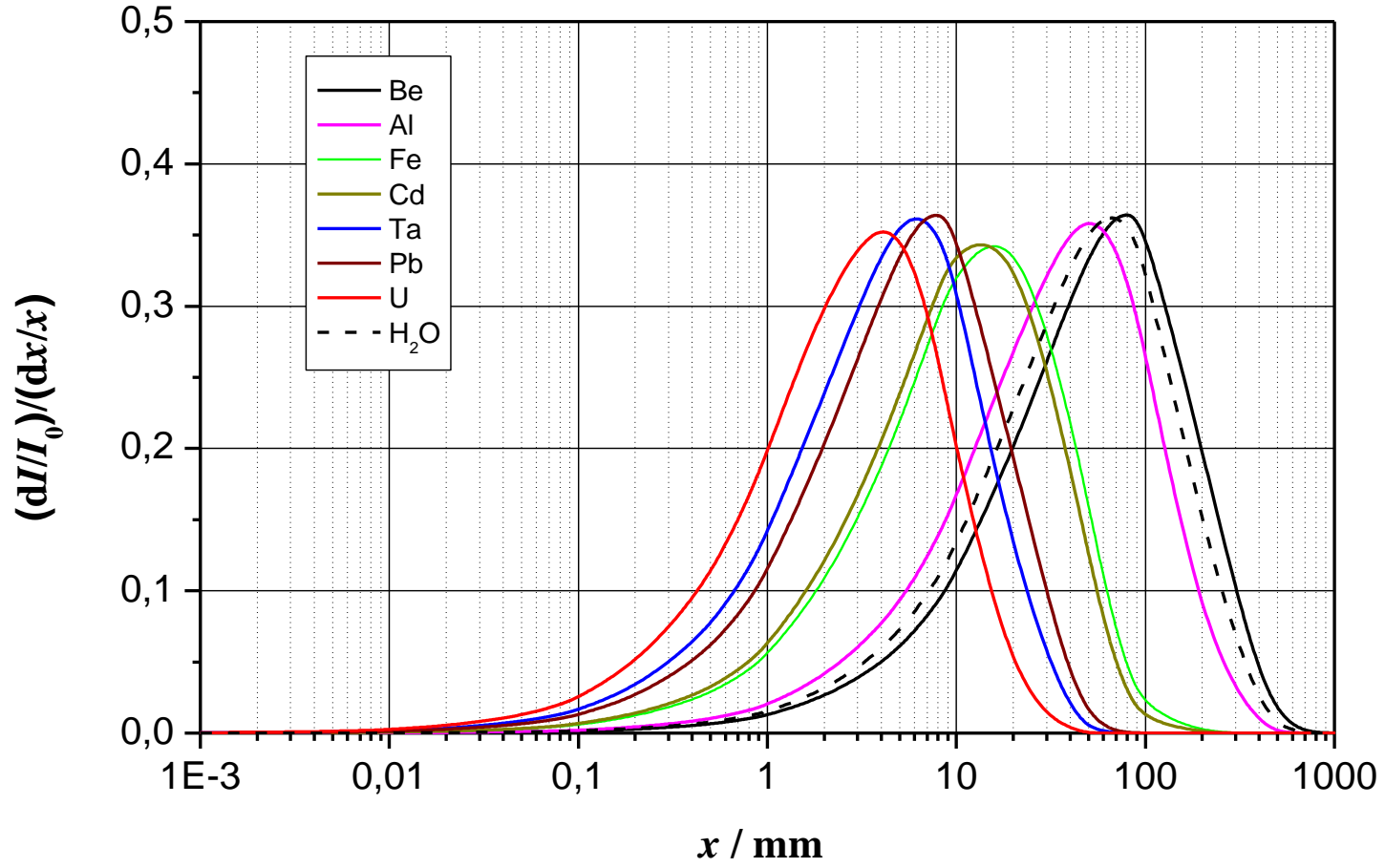


Q\_60keV\_1

Schrewe, November 2010



# Sensitivity $(dI_0/I)/(dx/x)$ for $E_{\text{photon}} = 661 \text{ keV}$ ( $^{137}\text{Cs}$ )

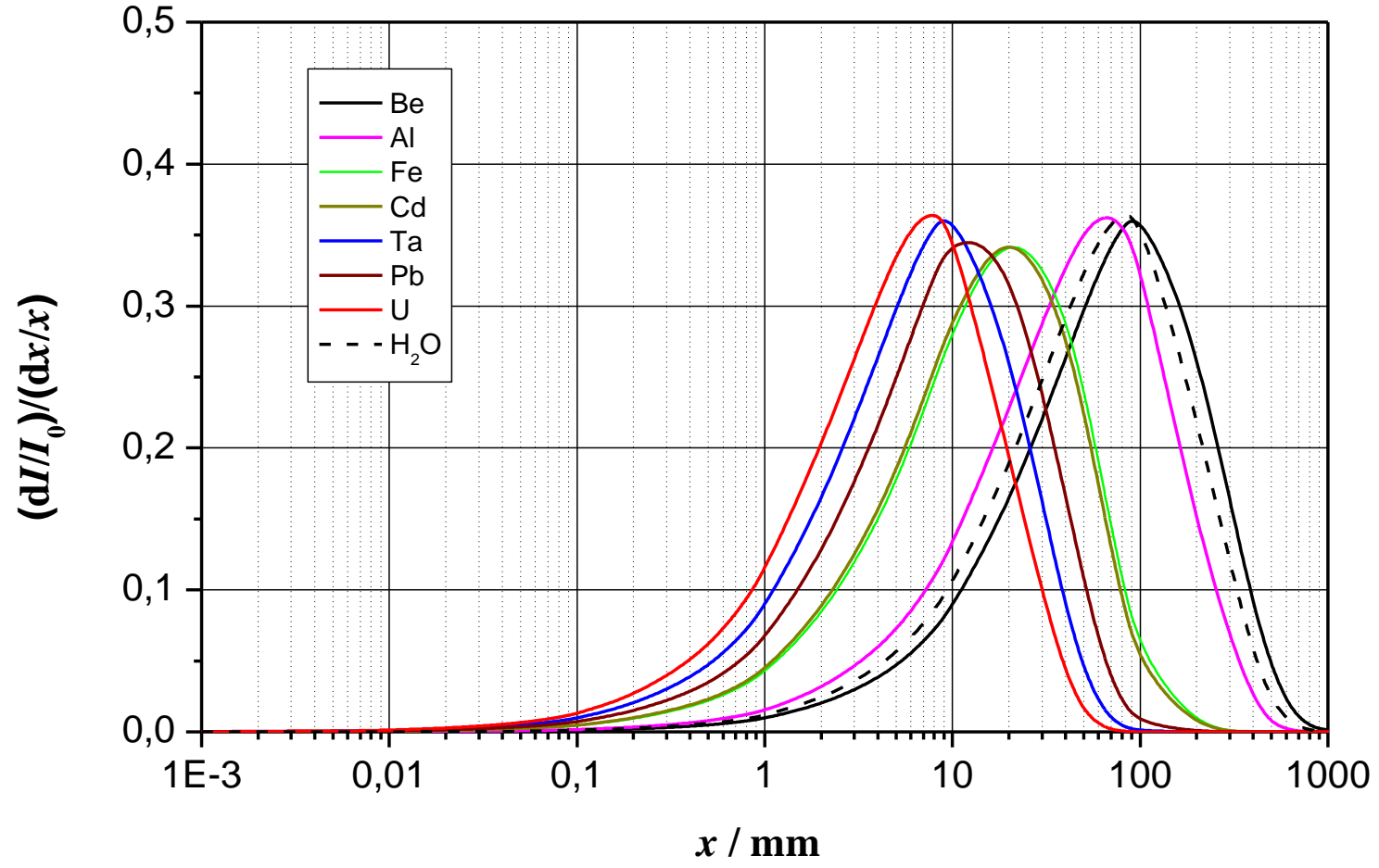


Q\_661keV\_1

Schrewe, November 2010



# Sensitivity $(dI/I_0)/(dx/x)$ for $E_{\text{photon}} = 1173 \text{ keV}$ ( $^{60}\text{Co}$ )

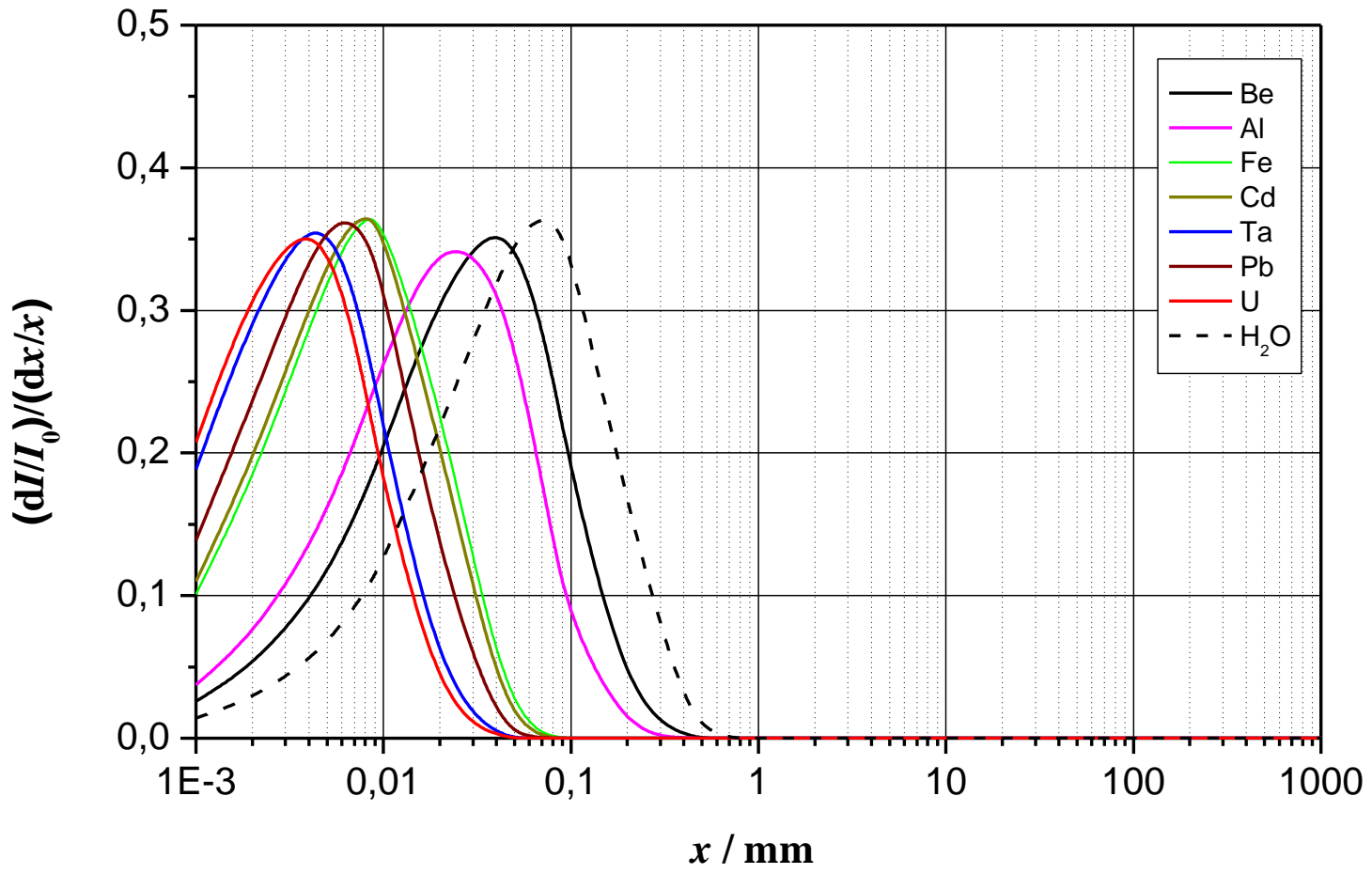


Q\_1173keV\_1

Schrewe, November 2010



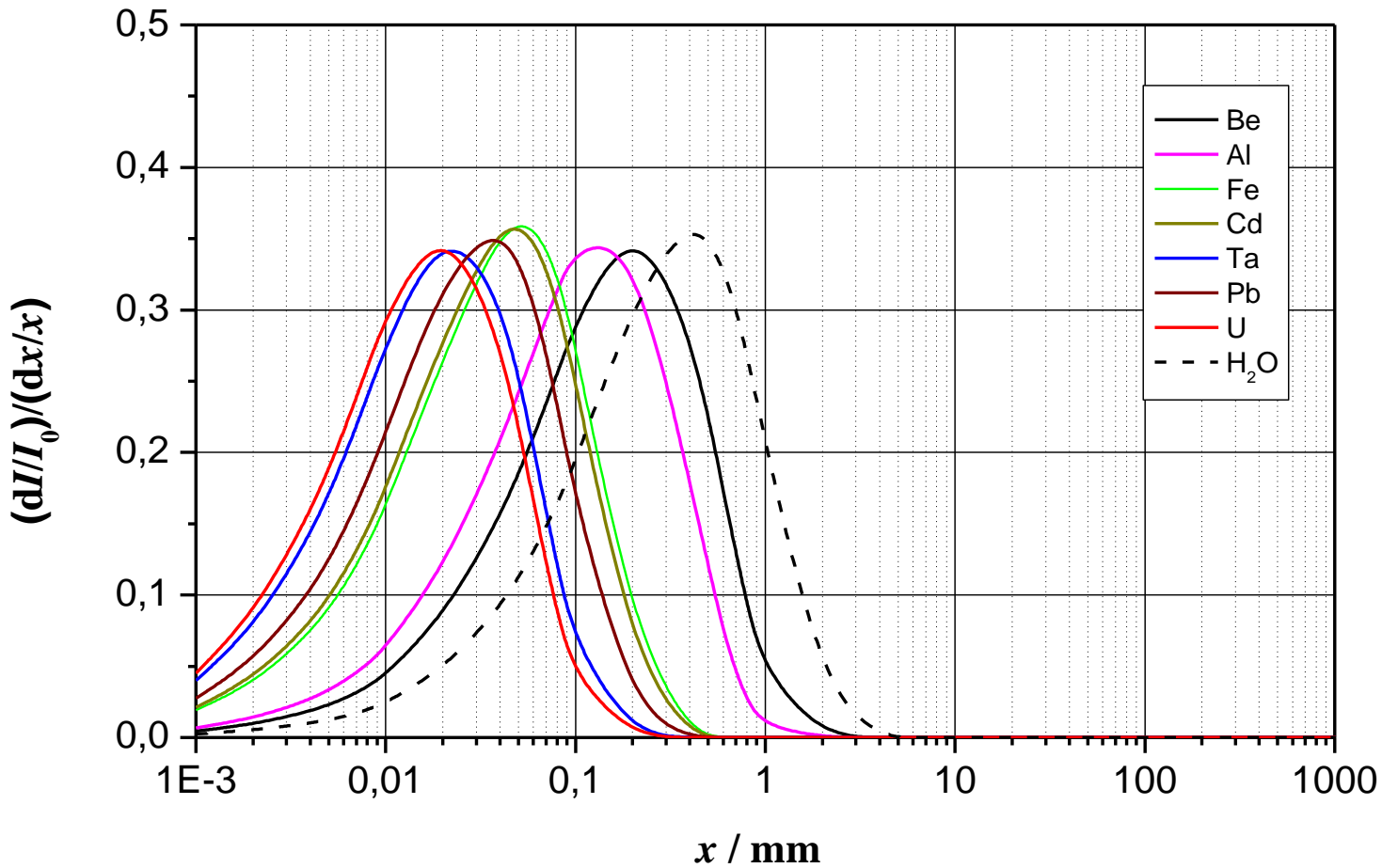
# Sensitivity $(dI/I_0)/(dx/x)$ for $E_\beta = 224,6 \text{ keV}$ ( $^{147}\text{Pm}$ )



Q\_147pm\_1

Schrewe, November 2010

# Sensitivity $(dI/I_0)/(dx/x)$ for $E_B = 346.9 \text{ keV}$ ( $^{204}\text{Tl}$ )

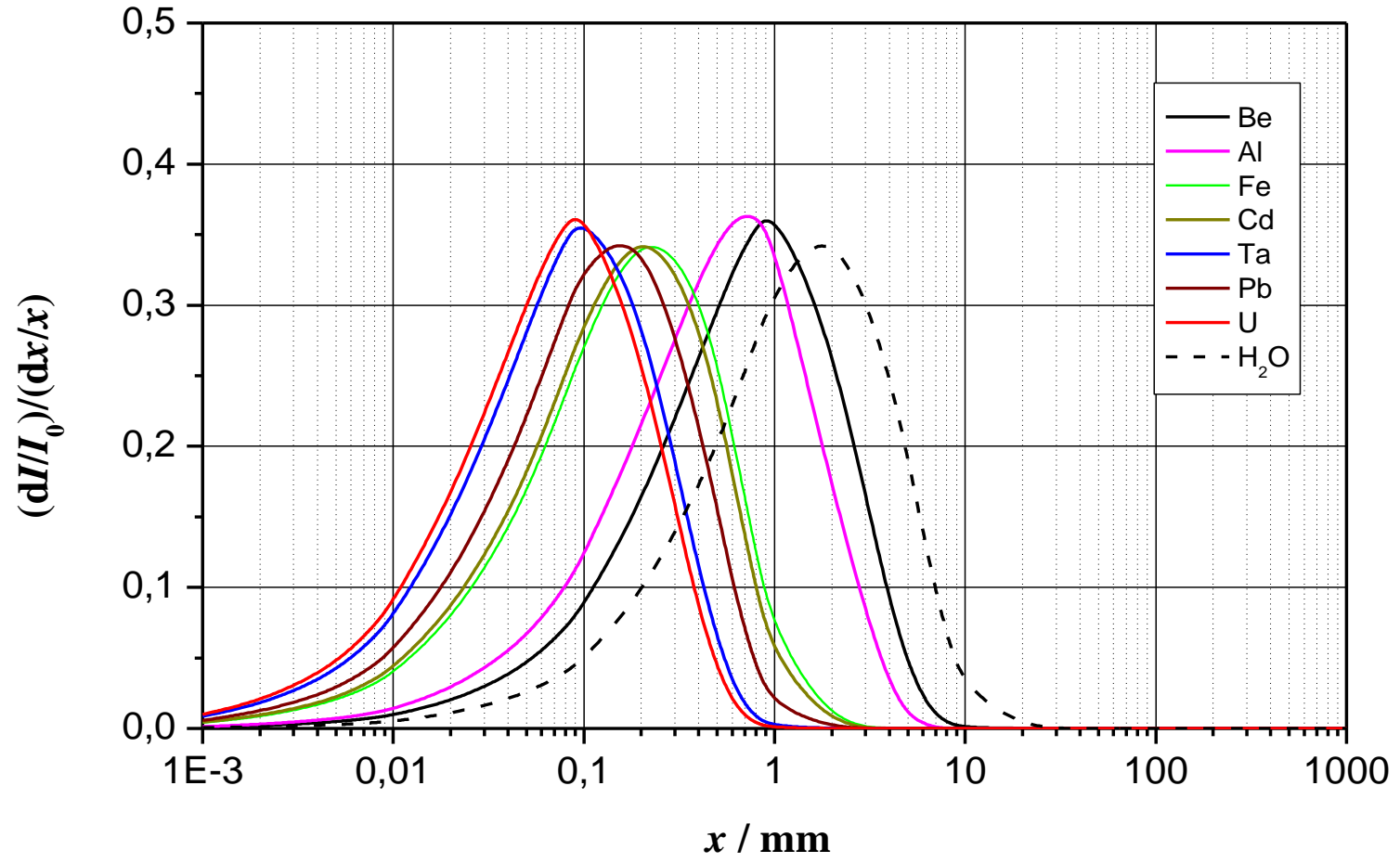


Q\_204Tl\_1

Schrewe, November 2010



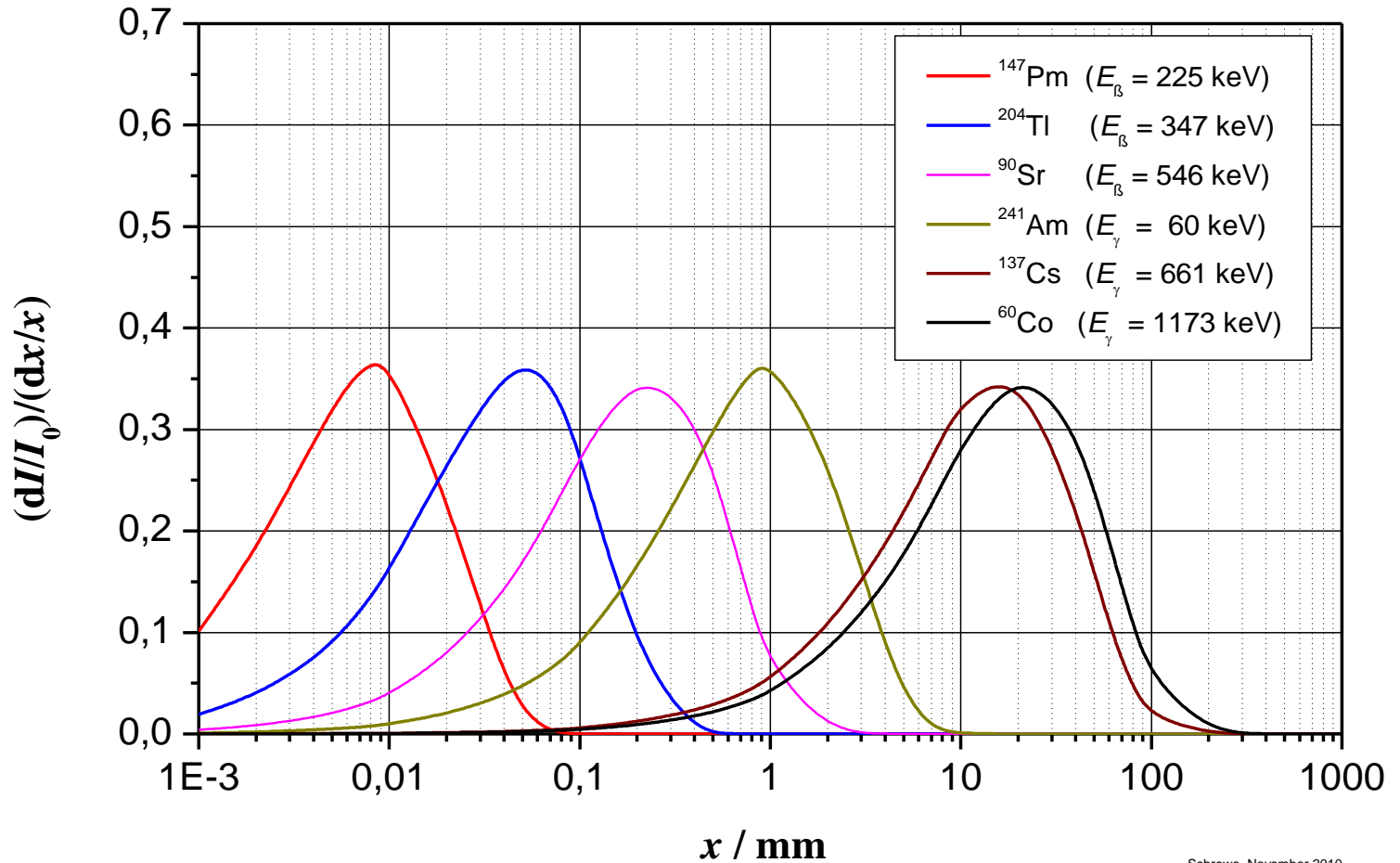
# Sensitivity $(dI/I_0)/(dx/x)$ for $E_\beta = 546 \text{ keV}$ ( $^{90}\text{Sr}$ )



Q\_90Sr\_1

Schrewe, November 2010

## Sensitivity $(dI/I_0)/(dx/x)$ for Fe and various types of radiation



Q\_Fe\_1

Schrewe, November 2010

Die verschiedenen Funktionen  $S(x)$  in der vorherigen Abbildung zeigen, dass man zur optimalen Dicken- oder Dichtemessung stets ein geeignetes radioaktives Isotop auswählen kann.

Mit den radiologischen Messverfahren zur Dicken- und Dichtemessung kann man insgesamt einen Dicken- und Dichtebereich von mehr als fünf Größenordnung abdecken.

Man findet praktisch für alle industriell relevanten Messprobleme radioaktive Quellen mit geeigneten Strahlenarten.

Radiologische Dicken- und Dichtemessverfahren sind in der industriellen Messtechnik sehr weit verbreitet.

# Kleinste messbare Dichte- bzw. Dickenänderung

Die Messung kleiner Dichte- oder Dichteänderungen wird durch die Zählstatistik begrenzt, da  $I \sim N$  ist und nach Poisson gilt:  $N \pm \sqrt{N}$

Der kleinsten messbaren Dicken- oder Dichteänderung entspricht die kleinste relative Intensitätsänderung:  $(dI/I)_{\min} = \sqrt{N}/N$

Empfindlichkeit: 
$$S = -\frac{dI/I_0}{dx/x} = \mu \cdot x \cdot e^{-\mu \cdot x}$$

Ersetze  $I_0$  durch: 
$$I_0 = \frac{I}{e^{-\mu \cdot x}} = I \cdot e^{+\mu \cdot x}$$

Es folgt: 
$$\frac{dx}{x} = -\frac{dI/I}{\mu \cdot x}$$

wobei  $dI/I$  die gemessene relative Intensitätsänderung ist, die durch eine relative Dickenänderung  $dx/x$  in der Probe verursacht wird.

# Kleinste messbare Dichte- bzw. Dickenänderung

Die statistisch kleinste messbare Intensitätsänderung ist:

$$\left(\frac{dI}{I}\right)_{\min} = \frac{\sqrt{N}}{N} = \frac{\sqrt{N_0 \cdot e^{-\mu x}}}{N_0 \cdot e^{-\mu x}} = \frac{1}{\sqrt{N_0}} \cdot \frac{e^{-\frac{1}{2}\mu \cdot x}}{e^{-\mu \cdot x}} = \frac{e^{+\frac{1}{2}\mu \cdot x}}{\sqrt{N_0}}$$

Für die kleinste messbare relative Dickenänderung folgt:

$$\delta(x) = \left(\frac{dx}{x}\right)_{\min} = -\frac{\left(\frac{dI}{I}\right)_{\min}}{\mu \cdot x} = -\frac{e^{+\frac{1}{2}\mu \cdot x}}{\mu \cdot x \cdot \sqrt{N_0}}$$

Für die kleinste messbare relative Dichteänderung gilt ähnliches.

# Kleinste messbare Dichte- bzw. Dickenänderung

Als optimale Schichtdicke  $x_{\text{opt}}$  bezeichnet man die Dicke, bei der die Funktion der kleinsten messbaren relativen Dickenänderung  $\delta(x)$  ein Minimum erreicht. Man bestimmt die Nullstelle der 1. Ableitung der Funktion  $\delta(x)$ :

$$\frac{d\delta(x)}{dx} = -\frac{1}{\mu \cdot \sqrt{N_0}} \cdot \frac{d}{dx} \left( \frac{e^{+\frac{1}{2}\mu \cdot x}}{x} \right)$$

Ableitung der Funktion  $\delta(x)$ :

$$\frac{d\delta(x)}{dx} = -\frac{1}{\mu \cdot \sqrt{N_0}} \left( \frac{\frac{1}{2}\mu \cdot e^{+\frac{1}{2}\mu \cdot x}}{x} - \frac{e^{+\frac{1}{2}\mu \cdot x}}{x^2} \right) = -\frac{e^{+\frac{1}{2}\mu \cdot x}}{\mu \cdot \sqrt{N_0}} \left( \frac{1}{x} \cdot \left( \frac{\mu}{2} - \frac{1}{x} \right) \right)$$

# Optimale Dicke $x_{opt}$

Die erste Ableitung der Funktion  $\delta(x)$  ist Null, wenn:

$$\frac{\mu}{2} - \frac{1}{x_{opt}} = 0$$

Für die optimale Schichtdicke erhält man:

$$x_{opt} = \frac{2}{\mu}$$

Statt den Schwächungskoeffizienten  $\mu$  kann man die Halbwertsdicke  $d_{1/2} = \ln 2 / \mu$  verwenden. Es gilt dann:

$$x_{opt} = \frac{2}{\ln 2} \cdot d_{1/2} = 2,88 \cdot d_{1/2}$$

Bei  $x_{opt}$  erreicht die minimale Schichtdickenänderung ihren kleinsten Wert.

# Auflösung bei optimaler Dicke

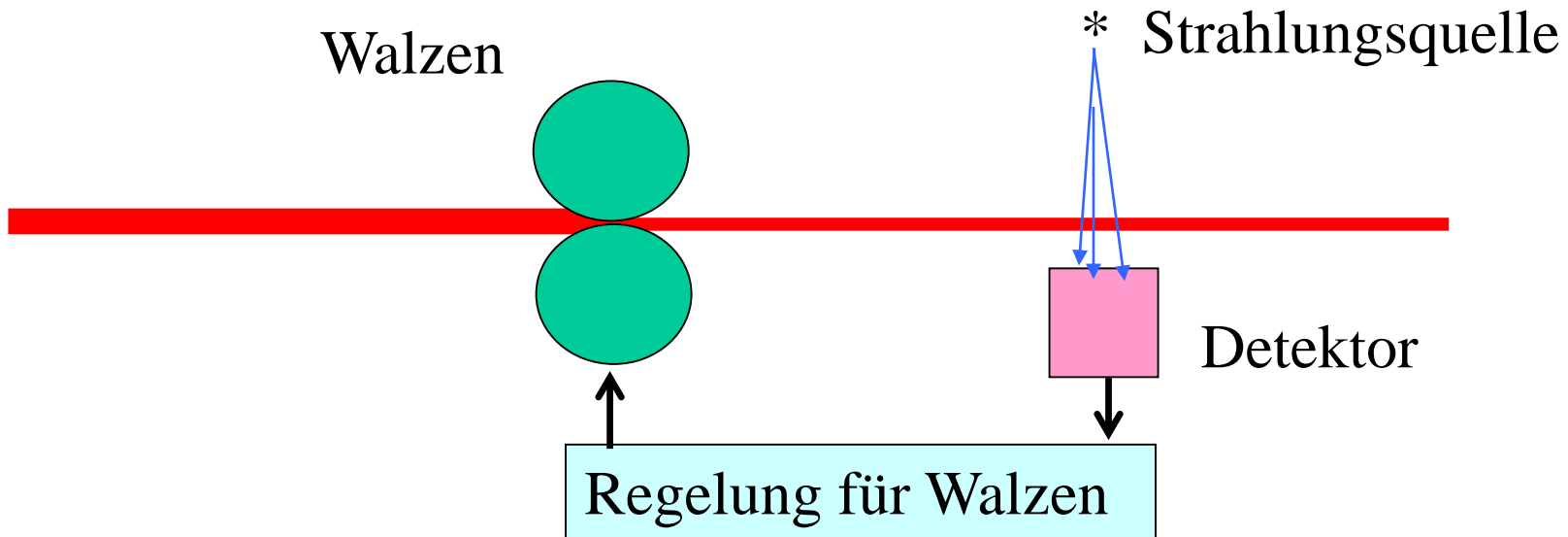
Um die Auflösung bei optimaler Schichtdicke zu bestimmen, berechnet man  $\delta(x_{opt})$  für unterschiedliche Zählraten:

$$\delta(x_{opt}) = \frac{e^{+\frac{1}{2}\mu \cdot x_{opt}}}{\mu \cdot x_{opt} \cdot \sqrt{N_0}} = \frac{e^{+\frac{1}{2}\mu \cdot \frac{2}{\mu}}}{\mu \cdot \frac{2}{\mu} \cdot \sqrt{N_0}} = \frac{e}{2 \cdot \sqrt{N_0}} = \frac{1,36}{\sqrt{N_0}}$$

$N_0$	$\sqrt{N_0}$	$\delta(x_{opt}) = \frac{e}{2\sqrt{N_0}}$
10	3,16	43%
100	10,00	13,6%
1000	31,60	4,30%
10000	100,00	1,36%

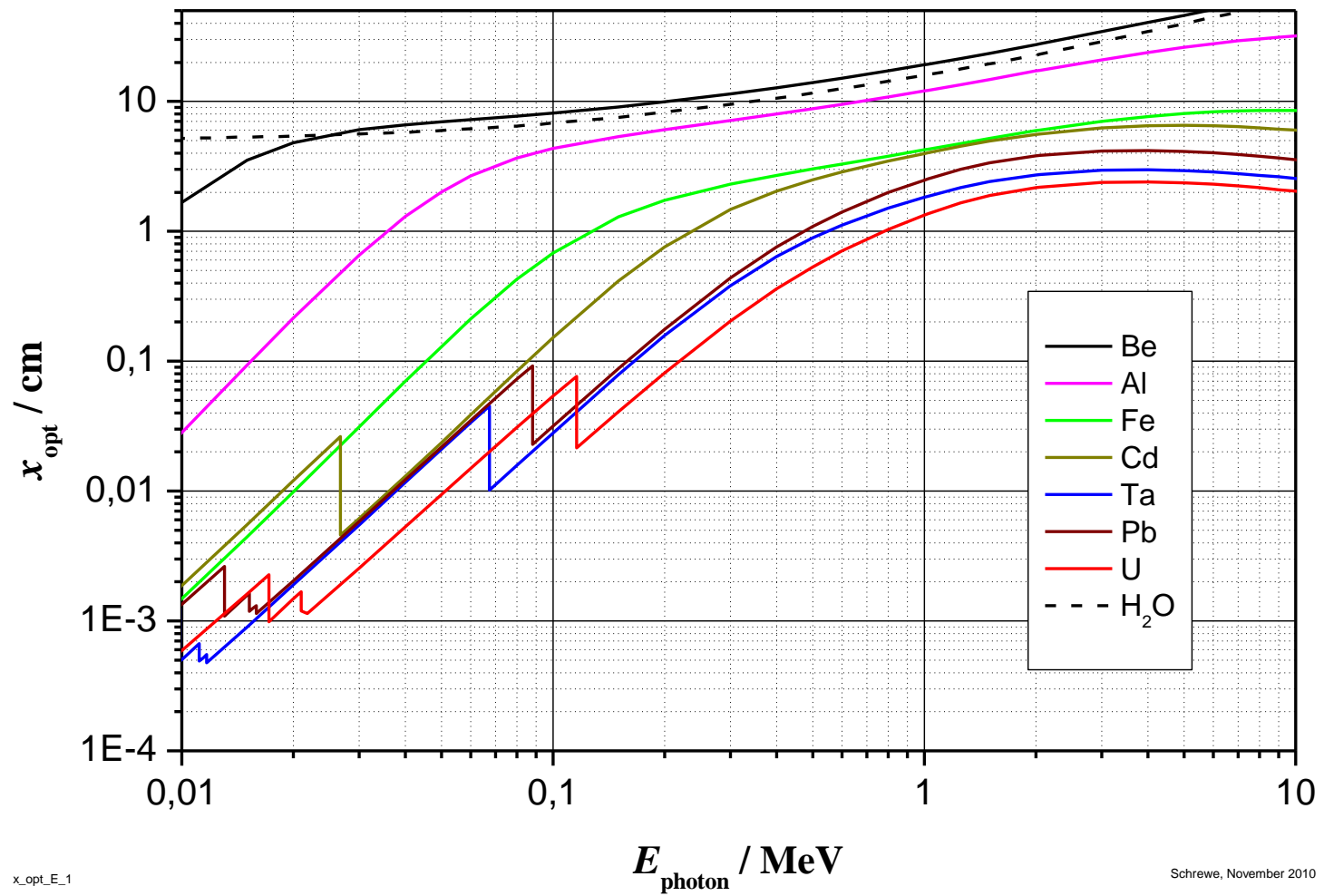
# Anwendungsbeispiel

Um in Fall einer industriellen Anwendung (z. B. beim Walzen von Blech) die Dicke  $x$  (oder besser: die Flächenmasse  $\rho \cdot x$ ) auf besser als 1,4 % konstant halten zu können, müssen im Detektor mindestens  $N = 10000$  Ereignisse im Messintervall  $\Delta T$  gemessen werden.





# Optimum thickness $x_{opt}$ for various materials



x\_opt\_E\_1

Schrewe, November 2010